

本資料のうち、枠囲みの内容は営業秘密又は防護上の観点から公開できません。

東海第二発電所 工事計画審査資料	
資料番号	補足-60-1 改 56
提出年月日	平成 30 年 6 月 21 日

東海第二発電所

工事計画に係る説明資料

(V-1-1-2-2 津波への配慮に関する説明書)

平成 30 年 6 月

日本原子力発電株式会社

改定履歴

改定	改定日 (提出年月日)	改定内容
改0	H30.2.5	<ul style="list-style-type: none"> ・新規制定 ・「6.1.3 止水機構に関する補足説明」を新規作成し、追加
改1	H30.2.7	<ul style="list-style-type: none"> ・「1.1 潮位観測記録の考え方について」及び「1.3 港湾内の局所的な海面の励起について」を新規作成し、追加
改2	H30.2.8	<ul style="list-style-type: none"> ・改0の「6.1.3 止水機構に関する補足説明」を改定
改3	H30.2.9	<ul style="list-style-type: none"> ・改1に、「1.6 SA用海水ピットの構造を踏まえた影響の有無の検討」を新規作成し、追加（「1.1 潮位観測記録の考え方について」及び「1.3 港湾内の局所的な海面の励起について」は、変更なし）
改4	H30.2.13	<ul style="list-style-type: none"> ・改3の内、「1.1 潮位観測記録の考え方について」及び「1.3 港湾内の局所的な海面の励起について」を改定（「1.6 SA用海水ピットの構造を踏まえた影響の有無の検討」は、変更なし）
改5	H30.2.13	<ul style="list-style-type: none"> ・「5.11 浸水防護施設の設計における評価対象断面の選定について」及び「5.17 強度計算における津波時及び重畳時の荷重作用状況について」を新規作成し、追加
改6	H30.2.15	<ul style="list-style-type: none"> ・「5.7 自然現象を考慮する浸水防護施設の選定について」及び「5.19 津波荷重の算出における高潮の考慮について」を新規作成し、追加
改7	H30.2.19	<ul style="list-style-type: none"> ・改6に、「5.1 地震と津波の組合せで考慮する荷重について」を新規作成し、追加（「5.7 自然現象を考慮する浸水防護施設の選定について」及び「5.19 津波荷重の算出における高潮の考慮について」は、変更なし）
改8	H30.2.19	<ul style="list-style-type: none"> ・「5.9 浸水防護施設の評価に係る地盤物性値及び地質構造について」及び「5.14 防潮堤止水ジョイント部材及び鋼製防護壁止水シールについて」を新規作成し、追加
改9	H30.2.22	<ul style="list-style-type: none"> ・改8の「5.9 浸水防護施設の評価に係る地盤物性値及び地質構造について」を改定（「5.14 防潮堤止水ジョイント部材及び鋼製防護壁止水シールについて」は、変更なし）
改10	H30.2.23	<ul style="list-style-type: none"> ・改2の「6.1.3 止水機構に関する補足説明」を改定
改11	H30.2.27	<ul style="list-style-type: none"> ・「4.1 設計に用いる遡上波の流速について」及び「5.4 津波波力の選定に用いた規格・基準類の適用性について」を新規作成し、追加
改12	H30.3.1	<ul style="list-style-type: none"> ・「1.2 遡上・浸水域の評価の考え方について」、「1.4 津波シミュレーションにおける解析モデルについて」、「4.2 漂流物による影響確認について」、「5.2 耐津波設計における現場確認プロセスについて」及び「5.6 浸水量評価について」を新規作成し、追加 ・改4の内、「1.6 SA用海水ピットの構造を踏まえた影響の有無の検討」を改定
改13	H30.3.6	<ul style="list-style-type: none"> ・改12の内、「1.6 SA用海水ピットの構造を踏まえた影響の有無の検討」を改定
改14	H30.3.6	<ul style="list-style-type: none"> ・改5の内、「5.11 浸水防護施設の設計における評価対象断面の選定について」を改定（「5.11 浸水防護施設の設計における評価対象断面の選定について」のうち、「5.11.5 鋼管杭鉄筋コンクリート防潮壁」を新規作成） ・改9の内、「5.14 防潮堤止水ジョイント部材及び鋼製防護壁止水シールについて」を改定

改定	改定日 (提出年月日)	改定内容
改 15	H30. 3. 9	<ul style="list-style-type: none"> 資料番号を「補足-60」→「補足-60-1」に変更（改定番号は継続） 改 7 の内、「5. 7 自然現象を考慮する浸水防護施設の選定について」を改定 改 10 の「6. 1. 3 止水機構に関する補足説明」を改定
改 16	H30. 3. 12	<ul style="list-style-type: none"> 改 14 の内、「5. 14 防潮堤止水ジョイント部材及び鋼製防護壁止水シールについて」を改定
改 17	H30. 3. 22	<ul style="list-style-type: none"> 改 15 の内、「6. 1. 3 止水機構に関する補足説明」を改定
改 18	H30. 3. 30	<ul style="list-style-type: none"> 「1. 5 入力津波のパラメータスタディの考慮について」、「3. 1 砂移動による影響確認について」、「6. 5. 1 防潮扉の設計に関する補足説明」及び「放水路ゲートに関する補足説明」を新規作成し追加 改 17 の「6. 1. 3 止水機構に関する補足説明」を改定
改 19	H30. 4. 3	<ul style="list-style-type: none"> 改 18 の「6. 1. 3 止水機構に関する補足説明」を改定
改 20	H30. 4. 4	<ul style="list-style-type: none"> 改 11 の内「4. 1 設計に用いる遡上波の流速について」を改定 「5. 10 浸水防護施設の強度計算における津波荷重、余震荷重及び漂流物荷重の組合せについて」を新規作成し追加
改 21	H30. 4. 6	<ul style="list-style-type: none"> 改 11 の内「5. 4 津波波力の選定に用いた規格・基準類の適用性について」を改定 改 16 の内「5. 14 防潮堤止水ジョイント部材及び鋼製防護壁シール材について」を改定（「5. 14 防潮堤止水ジョイント部材及び鋼製防護壁シール材について」のうち「5. 14. 2 鋼製防護壁シール材について」を新規作成）
改 22	H30. 4. 6	<ul style="list-style-type: none"> 「6. 9. 2 逆止弁を構成する各部材の評価及び機能維持の確認方法について」を新規作成し追加
改 23	H30. 4. 10	<ul style="list-style-type: none"> 改 18 の「6. 5. 1 防潮扉の設計に関する補足説明」及び「6. 6. 1 放水路ゲートに関する補足説明」を改訂 改 21 の「6. 1. 3 止水機構に関する補足説明」を改定
改 24	H30. 4. 11	<ul style="list-style-type: none"> 改 5 の内、「5. 11 浸水防護施設の設計における評価対象断面の選定について」を改定（「5. 11 浸水防護施設の設計における評価対象断面の選定について」のうち、「5. 11. 4 防潮堤（鉄筋コンクリート防潮壁（放水路エリア）」を改定） 改 14 の内、「5. 11 浸水防護施設の設計における評価対象断面の選定について」を改定（「5. 11 浸水防護施設の設計における評価対象断面の選定について」のうち、「5. 11. 5 鋼管杭鉄筋コンクリート防潮壁」を改定） 改 20 の内、「4. 1 設計に用いる遡上波の流速について」を改定 「5. 15 東海発電所の取放水路の埋戻の施工管理要領について」を新規作成し追加 「6. 2. 1 鉄筋コンクリート防潮壁の設計に関する補足説明」を新規作成し追加 「6. 3. 1 鉄筋コンクリート防潮壁（放水路エリア）の設計に関する補足説明」を新規作成し追加 「6. 4. 1 鋼管杭鉄筋コンクリート防潮壁の設計に関する補足説明」を新規作成し追加 「6. 8. 1 貯留堰の設計に関する補足説明」を新規作成し追加
改 25	H30. 4. 12	<ul style="list-style-type: none"> 改 23 の「6. 1. 3 止水機構に関する補足説明」を改定
改 26	H30. 4. 13	<ul style="list-style-type: none"> 改 12 の内、「4. 2 漂流物による影響確認について」及び「5. 6 浸水量評価について」を改定
改 27	H30. 4. 18	<ul style="list-style-type: none"> 改 25 の「6. 1. 3 止水機構に関する補足説明」を改定

改定	改定日 (提出年月日)	改定内容
改 28	H30. 4. 19	<ul style="list-style-type: none"> ・改 5 の内, 「5. 11 浸水防護施設の設計における評価対象断面の選定について」を改定(「5. 11. 7 防潮扉」を改定) ・改 24 の内, 「4. 1 設計に用いる遡上波の流速について」を改定 ・改 21 の内, 「5. 4 津波波力の選定に用いた規格・基準類の適用性について」 ・「5. 13 スロッシングによる貯留堰貯水量に対する影響評価について」を新規作成し, 追加 ・「5. 18 津波に対する止水性能を有する施設の評価について」を新規作成し, 追加 ・「6. 5. 1 防潮扉の設計に関する補足説明」(土木)を新規作成し, 追加 ・「6. 8. 2 貯留堰取付護岸に関する補足説明」を新規作成し, 追加
改 29	H30. 4. 19	<ul style="list-style-type: none"> ・改 18 の内, 「1. 5 入力津波のパラメータスタディの考慮について」を改定
改 30	H30. 4. 27	<ul style="list-style-type: none"> ・H30. 4. 23 時点での最新版一式として, 改 29 (H30. 4. 19) までの最新版をとりまとめ, 一式版を作成
改 31	H30. 4. 26	<ul style="list-style-type: none"> ・改 28 の内, 「4. 1 設計に用いる遡上波の流速について」を改定 ・改 28 の内, 「5. 4 津波波力の選定に用いた規格・基準類の適用性について」 ・改 5 の内, 「5. 11 浸水防護施設の設計における評価対象断面の選定について」を改定(「5. 11. 2 防潮堤(鋼製防護壁)」, 「5. 11. 3 防潮堤(鉄筋コンクリート防潮壁)」を改定) ・「6. 12 止水ジョイント部の相対変位量に関する補足説明」を新規作成し, 追加 ・「6. 13 止水ジョイント部の漂流物対策に関する補足説明」を新規作成し, 追加
改 32	H30. 5. 1	<ul style="list-style-type: none"> ・改 31 の内, 「4. 1 設計に用いる遡上波の流速について」を改定 ・「5. 9 浸水防護施設の評価に係る地盤物性値及び地質構造について」を削除し, 5. 9 以降の番号を繰り上げ ・改 5 の内, 「5. 10 浸水防護施設の設計における評価対象断面の選定について」を改定(「5. 10. 8 構内排水路逆流防止設備」を改定) ・改 21 の内, 「5. 13 防潮堤止水ジョイント部材及び鋼製防護壁シール材について」を改定(「5. 13. 2 鋼製防護壁シール材について」を改定) ・「6. 1. 1. 1 鋼製防護壁の耐震計算書に関する補足説明」を新規作成し, 追加 ・「6. 7. 1. 1 構内排水路逆流防止設備の耐震計算書に関する補足説明」を新規作成し, 追加
改 33	H30. 5. 7	<ul style="list-style-type: none"> ・改 5 の内, 「5. 16 強度計算における津波時及び重畳時の荷重作用状況について」を改定 ・「6. 2. 1. 2 鉄筋コンクリート防潮壁の強度計算書に関する補足説明資料」を新規作成し, 追加 ・「6. 3. 1. 2 鉄筋コンクリート防潮壁(放水路エリア)の強度計算書に関する補足説明」を新規作成し, 追加 ・「6. 4. 1. 2 鋼管杭鉄筋コンクリート防潮壁の強度計算書に関する補足説明」を新規作成し, 追加 ・「6. 8. 1. 2 貯留堰の強度計算書に関する補足説明」を新規作成し, 追加

改定	改定日 (提出年月日)	改定内容
改 34	H30. 5. 7	<ul style="list-style-type: none"> ・改 27 の「6. 1. 3 止水機構に関する補足説明」を改定 ・「6. 7. 1 構内排水路逆流防止設備の設計に関する補足説明」を新規作成し、追加
改 35	H30. 5. 14	<ul style="list-style-type: none"> ・改 34 の「6. 1. 3 止水機構に関する補足説明」を改定 止水機構の実証試験の記載等について適正化
改 36	H30. 5. 17	<ul style="list-style-type: none"> ・「5. 19 許容応力度法における許容限界について」を新規追加 ・「6. 1. 1. 2 鋼製防護壁の強度計算書に関する補足説明」を新規作成し、追加 ・「6. 5. 1. 2 防潮扉の強度計算書に関する補足説明」を新規作成し、追加
改 37	H30. 5. 17	<ul style="list-style-type: none"> ・改 4 の内、「1. 1 潮位観測記録の考え方について」及び「1. 3 港湾内の局所的な海面の励起について」を改定 ・改 18 の内、「3. 1 砂移動による影響確認について」を改定 ・「6. 9. 1 浸水防止蓋, 水密ハッチ, 水密扉, 逆止弁及び貫通部止水処置の設計に関する補足説明」に名称を変更
改 38	H30. 5. 18	<ul style="list-style-type: none"> ・改 24 の内、「5. 10 浸水防護施設の設計における評価対象断面の選定について」を改定（「5. 10. 5 防潮堤（鋼管杭鉄筋コンクリート防潮壁）」を改定） ・改 31 の内、「5. 10 浸水防護施設の設計における評価対象断面の選定について」を改定（「5. 10. 3 防潮堤（鉄筋コンクリート防潮壁）」を改定） ・改 31 の内、「6. 12 止水ジョイント部の相対変位量に関する補足説明」を改定
改 39	H30. 5. 22	<ul style="list-style-type: none"> ・改 35 の「6. 1. 3 止水機構に関する補足説明」を改定 止水機構の解析結果及び実証試験結果について記載を追記。 ・改 34 「6. 7. 1 構内排水路逆流防止設備の設計に関する補足説明」を改訂
改 40	H30. 5. 25	<ul style="list-style-type: none"> ・「6. 9. 1 浸水防止蓋, 水密ハッチ, 水密扉, 逆止弁及び貫通部止水処置の設計に関する補足説明」を新規作成し、追加 ・改 22 の「6. 9. 2 逆止弁を構成する各部材の評価及び機能維持の確認方法について」を改定
改 41	H30. 5. 29	<ul style="list-style-type: none"> ・改 40 の「6. 9. 1 浸水防止蓋, 水密ハッチ, 水密扉, 逆止弁及び貫通部止水処置の設計に関する補足説明」を改定
改 42	H30. 5. 31	<ul style="list-style-type: none"> ・改 5 の内、「5. 10 浸水防護施設の設計における評価対象断面の選定について」を改定（「5. 10. 6 貯留堰及び貯留堰取付護岸」を改定） ・改 24 の内、「6. 4. 1. 1 鋼管杭鉄筋コンクリート防潮壁の耐震計算書に関する補足説明」を改定 ・改 24 の内、「6. 8. 1. 1 貯留堰の耐震計算書に関する補足説明」を改定 ・改 28 の内、「5. 12 スロッシングによる貯留堰貯水量に対する影響評価について」を改定
改 43	H30. 6. 1	<ul style="list-style-type: none"> ・改 41 の「6. 9. 1 浸水防止蓋, 水密ハッチ, 水密扉, 逆止弁及び貫通部止水処置の設計に関する補足説明」を改定

改定	改定日 (提出年月日)	改定内容
改 44	H30. 6. 5	<ul style="list-style-type: none"> ・改 24 の「6. 2. 1. 1 鉄筋コンクリート防潮壁の耐震計算書に関する補足説明資料」を改定 ・改 28 の「5. 10 浸水防護施設の設計における評価対象断面の選定について」を改定（「5. 10. 7 防潮扉」を改定） ・改 32 の「5. 10 浸水防護施設の設計における評価対象断面の選定について」を改定（「5. 10. 8 構内排水路逆流防止設備」を改定）
改 45	H30. 6. 5	<ul style="list-style-type: none"> ・改 43 の「6. 9. 1 浸水防止蓋, 水密ハッチ, 水密扉, 逆止弁及び貫通部止水処置の設計に関する補足説明」を改定
改 46	H30. 6. 6	<ul style="list-style-type: none"> ・改 39 の「6. 1. 3 止水機構に関する補足説明」を改定 審査会合時(H30. 5. 31)の記載に改訂及び実証試験後の評価方法を記載。
改 47	H30. 6. 8	<ul style="list-style-type: none"> ・改 24 の「5. 14 東海発電所の取放水路の埋戻の施工管理要領について」を改定 ・改 32 の「5. 13. 2 鋼製防護壁シール材について」を改定 ・改 33 の「5. 16 強度計算における津波時及び重畳時の荷重作用状況について」を改定
改 48	H30. 6. 11	<ul style="list-style-type: none"> ・「4. 3 漂流物荷重について」を新規作成し, 追加 ・改 36 の「5. 19 許容応力度法における許容限界について」を改定
改 49	H30. 6. 12	<ul style="list-style-type: none"> ・改 45 の「6. 9. 1 浸水防止蓋, 水密ハッチ, 水密扉, 逆止弁及び貫通部止水処置の設計に関する補足説明」を改定
改 50	H30. 6. 12	<ul style="list-style-type: none"> ・改 46 の「6. 1. 3 止水機構に関する補足説明」を改定 ・改 18 の「6. 5. 1 防潮扉の設計に関する補足説明」及び「放水路ゲートに関する補足説明」を改定
改 51	H30. 6. 15	<ul style="list-style-type: none"> ・改 42 の「6. 4. 1. 1 鋼管杭鉄筋コンクリート防潮壁の耐震計算書に関する補足説明」を改定 ・改 48 の「5. 19 許容応力度法における許容限界について」を改定
改 52	H30. 6. 19	<ul style="list-style-type: none"> ・改 49 の「6. 9. 1 浸水防止蓋, 水密ハッチ, 水密扉, 逆止弁及び貫通部止水処置の設計に関する補足説明」を改定 ・「6. 10. 1 津波・構内監視カメラの設計に関する補足説明」に名称を変更 ・「6. 10. 1 津波・構内監視カメラの設計に関する補足説明」, 「6. 10. 3 加振試験の条件について」及び「6. 10. 4 津波監視設備の設備構成及び電源構成について」を新規作成し, 追加
改 53	H30. 6. 19	<ul style="list-style-type: none"> ・改 50 の「6. 1. 3 止水機構に関する補足説明」を改定
改 54	H30. 6. 20	<ul style="list-style-type: none"> ・「5. 8 浸水防護に関する施設の機能設計・構造設計に係る許容限界について」を新規作成し, 追加

改定	改定日 (提出年月日)	改定内容
改 55	H30. 6. 20	<ul style="list-style-type: none"> ・改 38 の「5. 10 浸水防護施設の設計における評価対象断面の選定について」を改定（「5. 10. 5 防潮堤（鋼管杭鉄筋コンクリート防潮壁）」を改定） ・改 44 の「5. 10 浸水防護施設の設計における評価対象断面の選定について」を改定（「5. 10. 7 防潮扉」を改定） ・改 51 の「5. 19 許容応力度法における許容限界について」を改定
改 56	H30. 6. 21	<ul style="list-style-type: none"> ・改 42 の「5. 12 スロッシングによる貯留堰貯水量に対する影響評価について」を改定 ・改 42 の「6. 8. 1. 1 貯留堰の耐震計算書に関する補足説明」を改定

下線は、今回提出資料を示す。

目 次

[]内は、当該箇所を提出
(最新)したときの改訂を示
す。

1. 入力津波の評価
 - 1.1 潮位観測記録の考え方について[改 37 H30. 5. 17]
 - 1.2 遡上・浸水域の評価の考え方について[改 12 H30. 3. 1]
 - 1.3 港湾内の局所的な海面の励起について[改 37 H30. 5. 17]
 - 1.4 津波シミュレーションにおける解析モデルについて[改 12 H30. 3. 1]
 - 1.5 入力津波のパラメータスタディの考慮について[改 29 H30. 4. 19]
 - 1.6 SA用海水ピットの構造を踏まえた影響の有無の検討[改 13 H30. 3. 6]
2. 津波防護対象設備
 - 2.1 津波防護対象設備の選定及び配置について
3. 取水性に関する考慮事項
 - 3.1 砂移動による影響確認について[改 37 H30. 5. 17]
 - 3.2 海水ポンプの波力に対する強度評価について
 - 3.3 電源喪失による除塵装置の機能喪失に伴う取水性の影響について
4. 漂流物に関する考慮事項
 - 4.1 設計に用いる遡上波の流速について[改 32 H30. 5. 1]
 - 4.2 漂流物による影響確認について[改 26 H30. 4. 13]
 - 4.3 漂流物荷重について[改 48 H30. 6. 11]
5. 設計における考慮事項
 - 5.1 地震と津波の組合せで考慮する荷重について[改 7 H30. 2. 19]
 - 5.2 耐津波設計における現場確認プロセスについて[改 12 H30. 3. 1]
 - 5.3 強度計算に用いた規格・基準について
 - 5.4 津波波力の選定に用いた規格・基準類の適用性について[改 31 H30. 4. 26]
 - 5.5 津波防護施設のアンカーの設計に用いる規格・基準類の適用性について
 - 5.6 浸水量評価について[改 26 H30. 4. 13]
 - 5.7 自然現象を考慮する浸水防護施設の選定について[改 15 H30. 3. 9]
 - 5.8 浸水防護に関する施設の機能設計・構造設計に係る許容限界について[改 54 H30. 6. 20]
 - 5.9 浸水防護施設の強度計算における津波荷重、余震荷重及び漂流物荷重の組合せについて[改 20 H30. 4. 4]
 - 5.10 浸水防護施設の設計における評価対象断面の選定について
 - 5.10.1 概要[改 5 H30. 2. 13]
 - 5.10.2 防潮堤（鋼製防護壁）[改 31 H30. 4. 26]
 - 5.10.3 防潮堤（鉄筋コンクリート防潮壁）[改 38 H30. 5. 18]
 - 5.10.4 防潮堤（鉄筋コンクリート防潮壁（放水路エリア））[改 24 H30. 4. 11]
 - 5.10.5 防潮堤（鋼管杭鉄筋コンクリート防潮壁）[改 55 H30. 6. 20]
 - 5.10.6 貯留堰及び貯留堰取付護岸[改 42 H30. 5. 31]
 - 5.10.7 防潮扉[改 55 H30. 6. 20]
 - 5.10.8 構内排水路逆流防止設備[改 44 H30. 6. 5]

- 5.11 浸水防護施設の評価における衝突荷重，風荷重及び積雪荷重について
 - 5.12 スロッシングによる貯留堰貯水量に対する影響評価について[改 56 H30. 6. 21]
 - 5.13 防潮堤止水ジョイント部材及び鋼製防護壁シール材について
 - 5.13.1 防潮堤止水ジョイント部材について[改 16 H30. 3. 19]
 - 5.13.2 鋼製防護壁シール材について[改 47 H30. 6. 8]
 - 5.14 東海発電所の取放水路の埋戻の施工管理要領について[改 47 H30. 6. 8]
 - 5.15 地殻変動後の基準津波襲来時における海水ポンプの取水性への影響について
 - 5.16 強度計算における津波時及び重畳時の荷重作用状況について[改 47 H30. 6. 8]
 - 5.17 津波に対する止水性能を有する施設の評価について[改 28 H30. 4. 19]
 - 5.18 津波荷重の算出における高潮の考慮について[改 7 H30. 2. 19]
 - 5.19 許容応力度法における許容限界について[改 55 H30. 6. 20]
6. 浸水防護施設に関する補足資料
- 6.1 鋼製防護壁に関する補足説明
 - 6.1.1 鋼製防護壁の設計に関する補足説明
 - 6.1.1.1 鋼製防護壁の耐震計算書に関する補足説明[改 32 H30. 5. 1]
 - 6.1.1.2 鋼製防護壁の強度計算書に関する補足説明[改 36 H30. 5. 17]
 - 6.1.2 鋼製防護壁アンカーに関する補足説明
 - 6.1.3 止水機構に関する補足説明[改 53 H30. 6. 19]
 - 6.2 鉄筋コンクリート防潮壁に関する補足説明
 - 6.2.1 鉄筋コンクリート防潮壁の設計に関する補足説明
 - 6.2.1.1 鉄筋コンクリート防潮壁の耐震計算書に関する補足説明資料[改 44 H30. 6. 5]
 - 6.2.1.2 鉄筋コンクリート防潮壁の強度計算書に関する補足説明資料[改 33 H30. 5. 7]
 - 6.2.2 フラップゲートに関する補足説明
 - 6.3 鉄筋コンクリート防潮壁（放水路エリア）に関する補足説明
 - 6.3.1 鉄筋コンクリート防潮壁（放水路エリア）の設計に関する補足説明
 - 6.3.1.1 鉄筋コンクリート防潮壁（放水路エリア）の耐震計算書に関する補足説明[改 24 H30. 4. 11]
 - 6.3.1.2 鉄筋コンクリート防潮壁（放水路エリア）の強度計算書に関する補足説明[改 33 H30. 5. 7]
 - 6.4 鋼管杭鉄筋コンクリート防潮壁に関する補足説明
 - 6.4.1 鋼管杭鉄筋コンクリート防潮壁の設計に関する補足説明
 - 6.4.1.1 鋼管杭鉄筋コンクリート防潮壁の耐震計算書に関する補足説明[改 51 H30. 6. 15]
 - 6.4.1.2 鋼管杭鉄筋コンクリート防潮壁の強度計算書に関する補足説明[改 33 H30. 5. 7]
 - 6.5 防潮扉に関する補足説明
 - 6.5.1 防潮扉の設計に関する補足説明[改 50 H30. 6. 12]
 - 6.5.1.1 防潮扉の耐震計算書に関する補足説明[改 28 H30. 4. 19]（土木）
 - 6.5.1.2 防潮扉の強度計算書に関する補足説明[改 36 H30. 5. 17]
 - 6.6 放水路ゲートに関する補足説明
 - 6.6.1 放水路ゲートの設計に関する補足説明[改 50 H30. 6. 12]

[]内は，当該箇所を提出（最新）したときの改訂を示す。

- 6.7 構内排水路逆流防止設備に関する補足説明
 - 6.7.1 構内排水路逆流防止設備の設計に関する補足説明[改 39 H30. 5. 22]
 - 6.7.1.1 構内排水路逆流防止設備の耐震計算書に関する補足説明[改 32 H30. 5. 1]
 - 6.7.1.2 構内排水路逆流防止設備の強度計算書に関する補足説明
- 6.8 貯留堰に関する補足説明
 - 6.8.1 貯留堰の設計に関する補足説明
 - 6.8.1.1 貯留堰の耐震計算書に関する補足説明[改 56 H30. 6. 21]
 - 6.8.1.2 貯留堰の強度計算書に関する補足説明[改 33 H30. 5. 7]
 - 6.8.2 貯留堰取付護岸に関する補足説明[改 28 H30. 4. 19]
- 6.9 浸水防護設備に関する補足説明
 - 6.9.1 浸水防止蓋, 水密ハッチ, 水密扉, 逆止弁及び貫通部止水処置の設計に関する補足説明[改 52 H30. 6. 19]
 - 6.9.2 逆止弁を構成する各部材の評価及び機能維持の確認方法について[改 40 H30. 5. 25]
 - 6.9.3 津波荷重(突き上げ)の強度評価における鉛直方向荷重の考え方について
- 6.10 津波監視設備に関する補足説明
 - 6.10.1 津波・構内監視カメラの設計に関する補足説明[改 52 H30. 6. 19]
 - 6.10.2 取水ピット水位計及び潮位計の設計に関する補足説明
 - 6.10.3 加振試験の条件について[改 52 H30. 6. 19]
 - 6.10.4 津波監視設備の設備構成及び電源構成について[改 52 H30. 6. 19]
- 6.11 耐震計算における材料物性値のばらつきの影響に関する補足説明
- 6.12 止水ジョイント部の相対変位量に関する補足説明[改 38 H30. 5. 18]
- 6.13 止水ジョイント部の漂流物対策に関する補足説明[改 31 H30. 4. 26]

[]内は, 当該箇所を提出
(最新)したときの改訂を示
す。

5.12 スロッシングによる貯留堰貯水量に対する影響評価

5.12.1 概要

貯留堰内の貯水に対して、スロッシングによる溢水量が貯留堰貯水量へ与える影響を評価する。具体的には、余震（ S_d-D1 ）によるスロッシングによって発生する貯留堰からの溢水量を算定し、貯留堰の有効容量（ $2,378 \text{ m}^3$ 、非常用海水ポンプの運転継続可能時間 33 分）から溢水量を減じた場合における非常用海水ポンプの運転継続可能時間が、引き波の継続時間（貯留堰外側の海水位が貯留堰天端を下回る時間約 3 分）に対して十分に余裕があることを確認する。また、非常用海水ポンプ*位置での水位の時刻歴を確認し、非常用海水ポンプの取水可能限界水位を下回っていないことを確認する。

貯留堰鳥瞰図を図 5.12-1 に、貯留堰の平面図及び断面図を図 5.12-2 に示す。また、引き波の継続時間約 3 分の考え方を図 5.12-3 に示す。

※ 残留熱除去系海水系ポンプ：4 機、非常用ディーゼル発電機用海水ポンプ：2 機、
高圧炉心スプレイ系ディーゼル発電機用海水ポンプ：1 機
詳細位置を図 5.12-4 に示す。



図 5.12-1 貯留堰鳥瞰図



図 5.12-2 貯留堰断面図

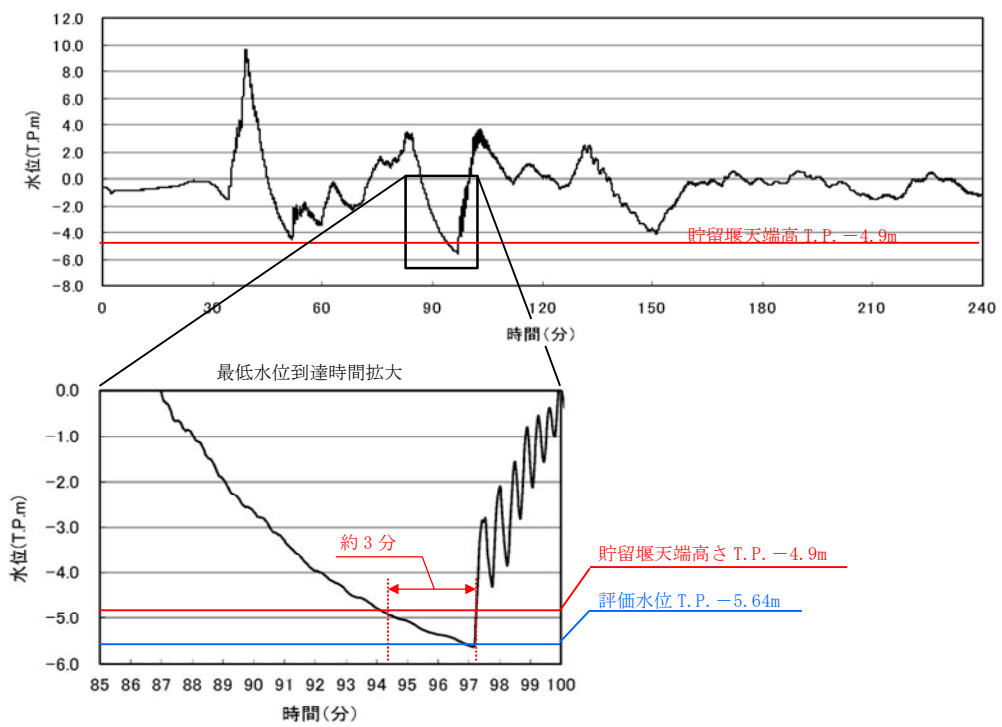


図 5.12-3 引き波の継続時間 (約 3分) の考え方

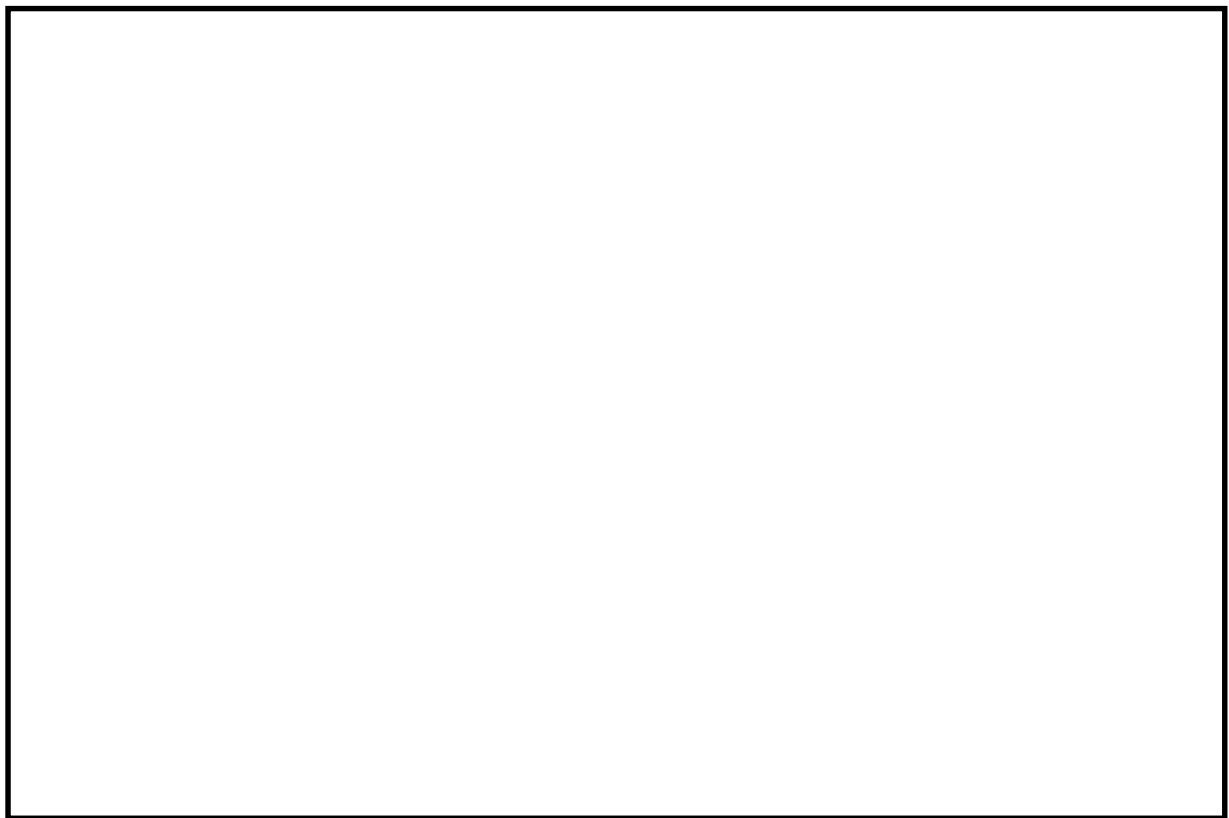


図 5.12-4 非常用海水ポンプ詳細位置図

5.12.2 検討方針

(1) 検討項目 1 (貯留量が確保されることを確認)

引き波によって貯留堰外側の海水位が貯留堰天端を下回る時間(約 3 分)と余震($S_d - D1$)との重畳を考慮したスロッシング解析によりに溢水量を算出し、貯留堰の有効容量(2,378 m^3 、非常用海水ポンプの運転継続可能時間 33 分)から溢水量を減じた場合における非常用海水ポンプの運転継続可能時間が引き波継続時間(約 3 分)に対して十分に余裕があることを確認する。

溢水量の算定においては、スロッシングによる溢水量を保守的に算出するため、スロッシング解析時間は引き波により貯留堰外側の海水位が貯留堰天端を下回る継続時間(約 3 分)よりも長い 5 分間(300 秒間)とする。

(2) 検討項目 2 (取水可能限界水位を下回らないことを確認)

非常用海水ポンプ位置でのスロッシング時の水位時刻歴波形を算出し、余震継続時間内における貯留堰内水位が非常用海水ポンプの取水可能限界水位(T.P. -5.7 m)を下回っていないことを確認する。スロッシング解析時間は、検討項目 1 と同様に 5 分間とする。

スロッシング検討フローを図 5.12-5 に示す。

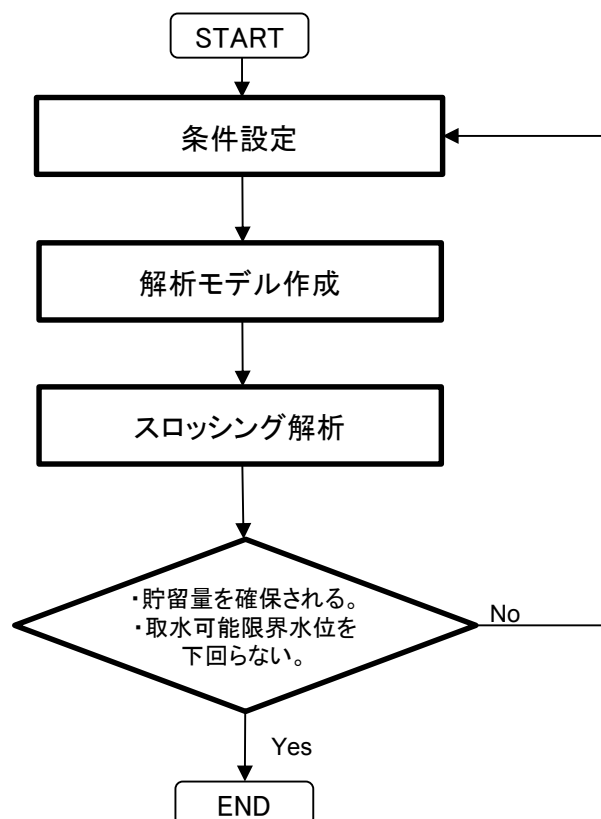


図 5.12-5 スロッシング検討フロー

5.12.3 入力地震動

(1) 地震動の引き上げ手法

地震動は、解放基盤 T.P. -370 m からスロッシング解析モデル下端（計画海底面 T.P. -6.89 m）までの引き上げを行う。

解放基盤 T.P. -370 m から地震応答解析モデル底面位置（T.P. -100 m）までの地震動の引き上げは、1次元地震応答解析（SHAKE）により行うものとする。

地震応答解析モデル底面位置（T.P. -100 m）からスロッシング解析モデル下端（計画海底面 T.P. -6.89 m）までの第四紀層の液状化検討対象層を含む範囲の地震動の引き上げについては、1次元地震応答解析（FLIP）により行うものとする。1次元地震応答解析に有効応力解析 FLIP を用いる理由は以下のとおりである。

スロッシングによる貯留堰貯水量に対する影響評価では、地震動（ S_d-D1 ）における地盤の有効応力の変化に応じた影響を考慮でき、原地盤に基づく液状化強度特性を用いたケース、地盤物性のばらつきを考慮したケース、非液状化の条件を仮定したケース及び地盤を強制的に液状化させることを仮定したケースに対して評価が行えるよう、有効応力解析 FLIP を用いる。

(2) 地震動の引き上げ位置

余震時のスロッシング解析は貯留堰からの溢水量を評価することが主目的なので、地震動の引き上げ位置は、貯留堰の設置位置で解析モデル下端まで引上げた地震動を使用する。

貯留堰の設置位置の地層構成は、長周期側成分が卓越する地層構成として、岩盤上面深度が深く、第四紀層が厚くなる地点を選定する。地震動の引き上げに用いる地層構成の選定に用いた地層断面位置図及び地層断面図をそれぞれ図 5.12-6 及び図 5.12-7 に示す。また、それぞれの図に地層構成抽出地点を合わせて示す。選定した地層構成抽出地点の地震応答解析モデル図を図 5.12-8 に示す。

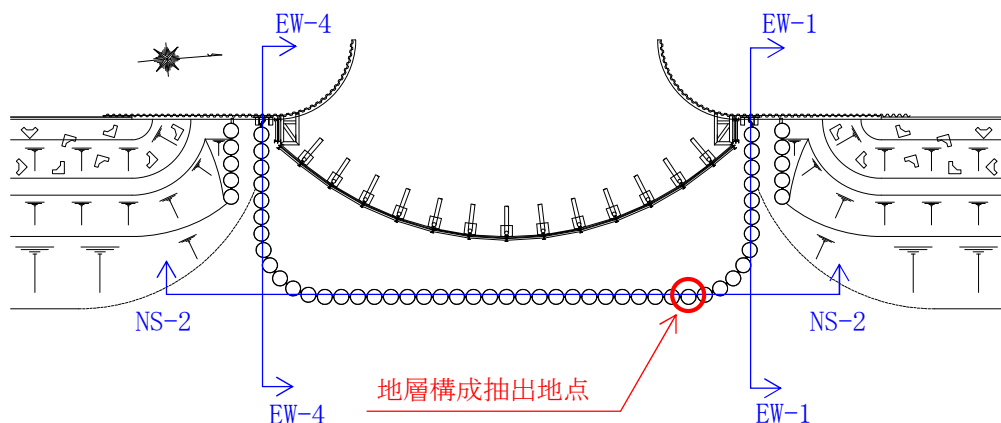


図 5.12-6 地震動の選定に用いる地層断面位置図

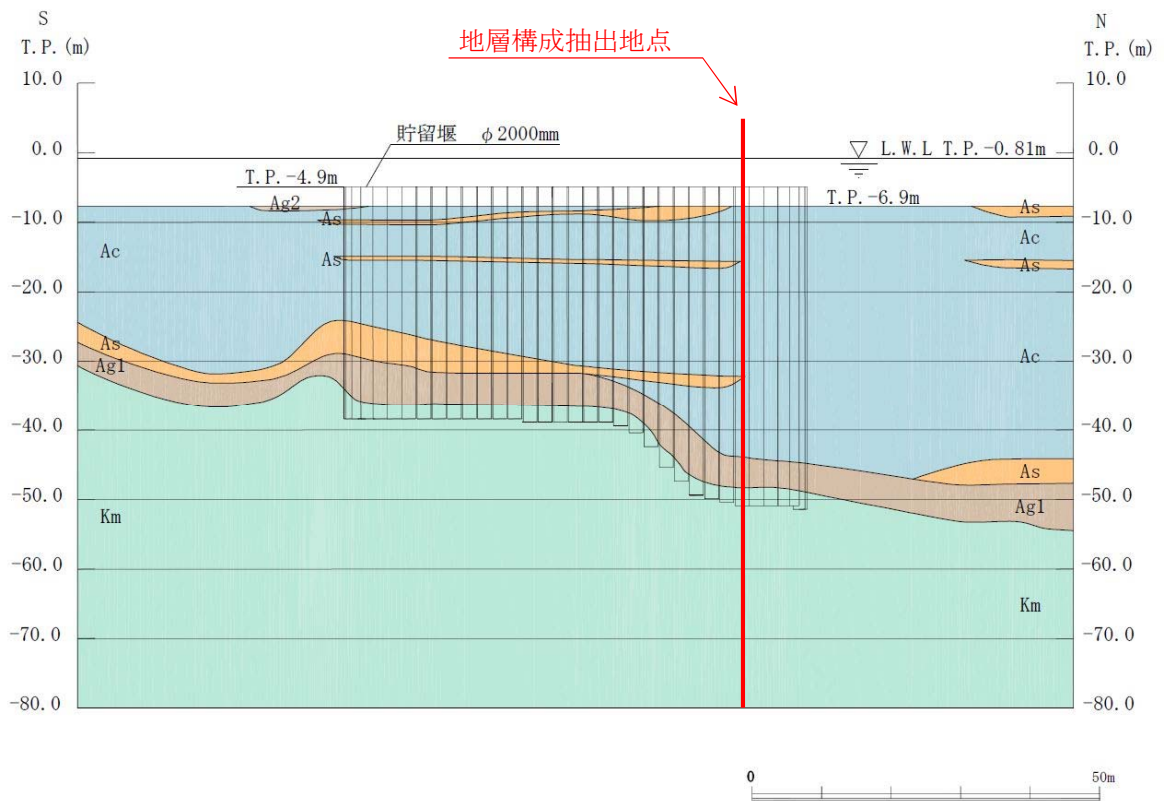


図 5.12-7 (1) 地層断面図 (NS-2)

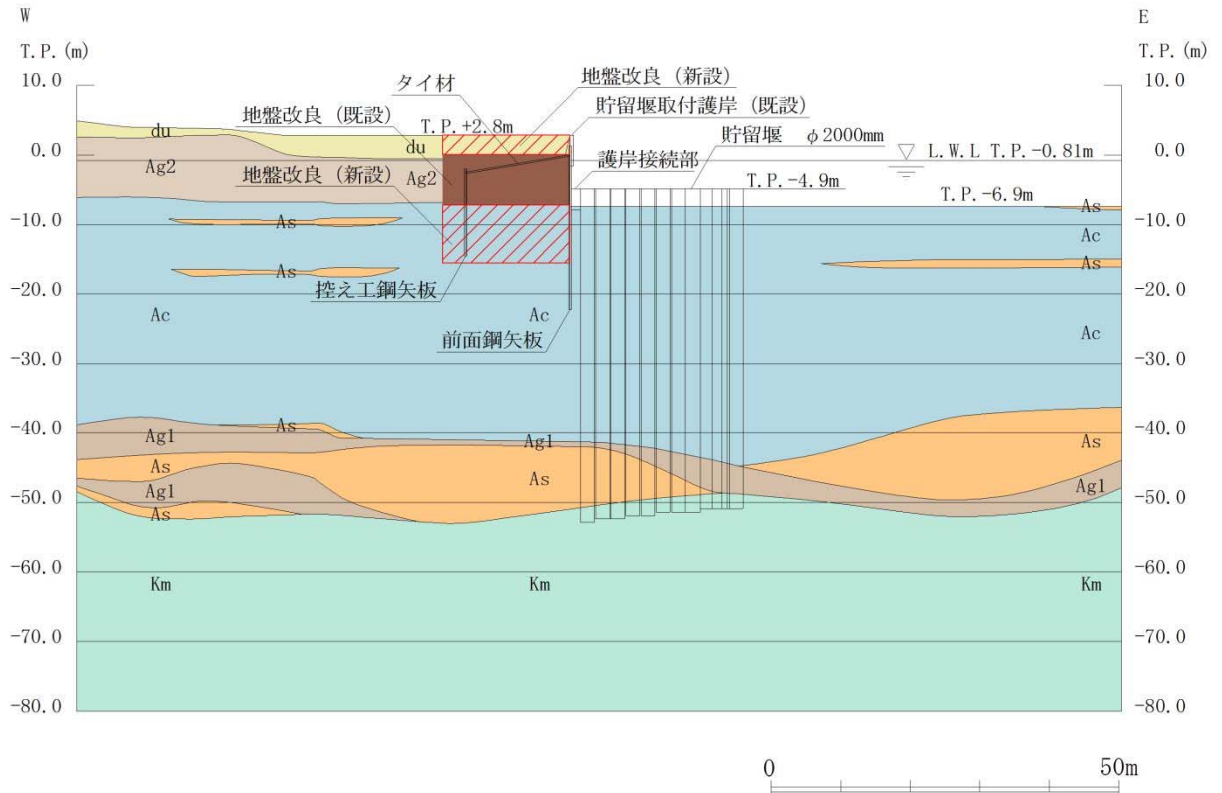


図 5.12-7 (2) 地層断面図 (EW-1)

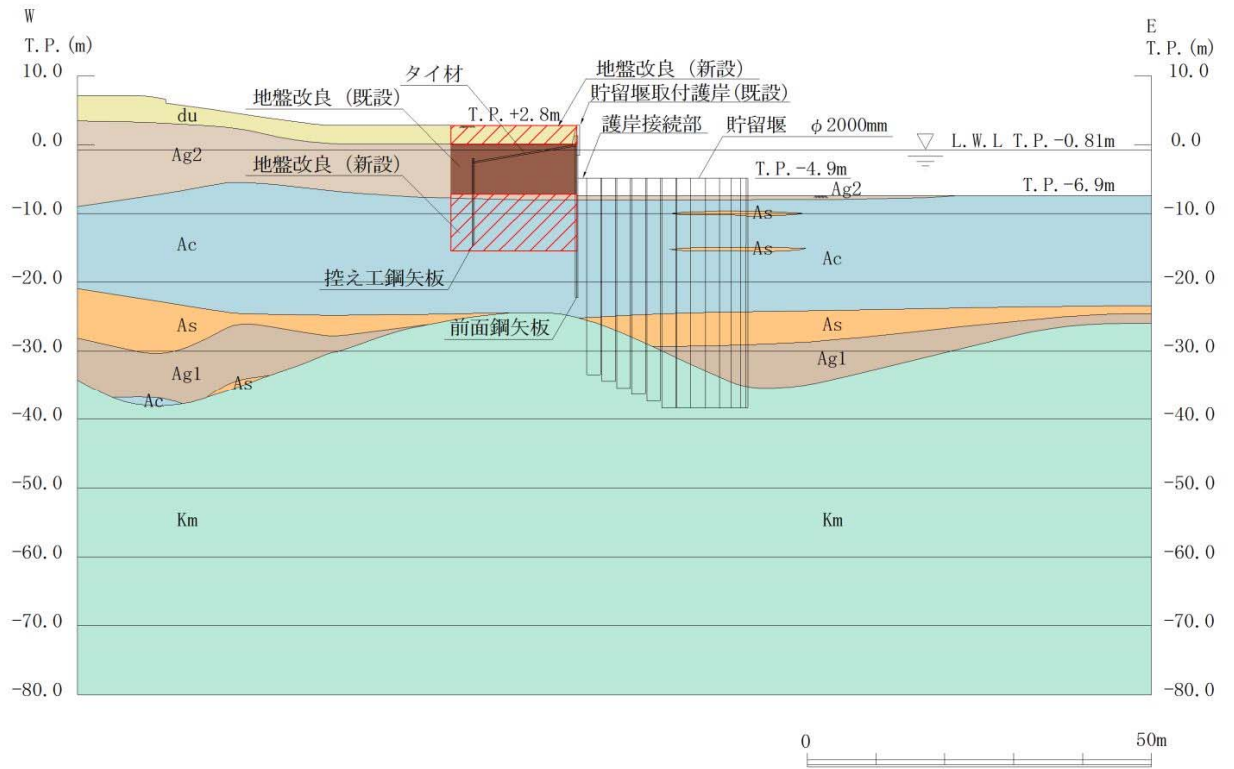


図 5.12-7 (3) 地層断面図 (EW-4)

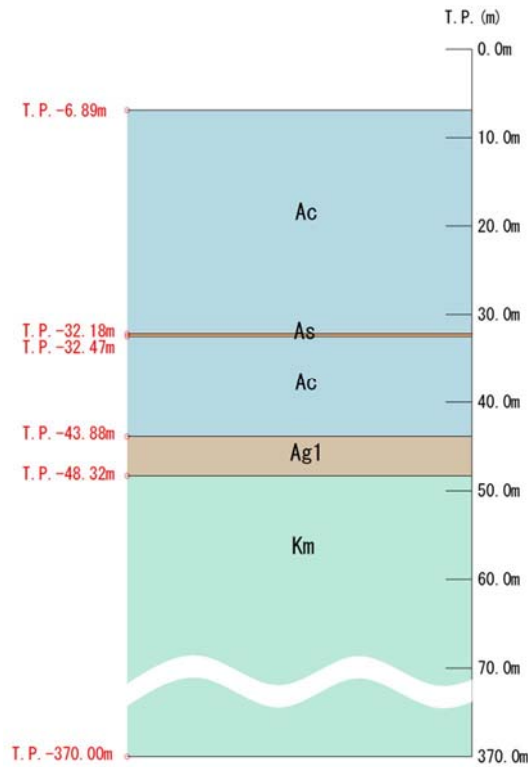


図 5.12-8 地震応答解析モデル図 (地層構成抽出地点)

(2) 地盤物性値

検討に用いる地盤の物性値を表 5.12-1 に示す。

表 5.12-1 (1) 地盤の解析用物性値一覧 (液状化検討対象層)

パラメータ				原地盤								豊浦標準砂
				埋戻土	第四系 (液状化検討対象層)							
				f1	du	Ag2	As	Ag1	D2s-3	D2g-3	D1g-1	
物理特性	密度 () は地下水位以浅	ρ	g/cm ³	1.98 (1.82)	1.98 (1.82)	2.01 (1.89)	1.74	2.01 (1.89)	1.92	2.15 (2.11)	2.01 (1.89)	1.958
	間隙比	e	—	0.75	0.75	0.67	1.2	0.67	0.79	0.43	0.67	0.702
変形特性	ポアソン比	ν_{CD}	—	0.26	0.26	0.25	0.26	0.25	0.19	0.26	0.25	0.333
	基準平均有効主応力 () は地下水位以浅	σ'_{ma}	kN/m ²	358 (312)	358 (312)	497 (299)	378	814 (814)	966	1167 (1167)	1695 (1710)	12.6
	基準初期せん断剛性 () は地下水位以浅	G_{ma}	kN/m ²	253529 (220739)	253529 (220739)	278087 (167137)	143284	392073 (392073)	650611	1362035 (1362035)	947946 (956776)	18975
	最大履歴減衰率	h_{max}	—	0.220	0.220	0.233	0.216	0.221	0.192	0.130	0.233	0.287
強度特性	粘着力	C_{CD}	N/mm ²	0	0	0	0.012	0	0.01	0	0	0
	内部摩擦角	ϕ_{CD}	度	37.3	37.3	37.4	41	37.4	35.8	44.4	37.4	30
液状化特性	液状化パラメータ	ϕ_p	—	34.8	34.8	34.9	38.3	34.9	33.4	41.4	34.9	28
	液状化パラメータ	S_1	—	0.047	0.047	0.028	0.046	0.029	0.048	0.030	0.020	0.005
	液状化パラメータ	W_1	—	6.5	6.5	56.5	6.9	51.6	17.6	45.2	10.5	5.06
	液状化パラメータ	P_1	—	1.26	1.26	9.00	1.00	12.00	4.80	8.00	7.00	0.57
	液状化パラメータ	P_2	—	0.80	0.80	0.60	0.75	0.60	0.96	0.60	0.50	0.80
	液状化パラメータ	C_1	—	2.00	2.00	3.40	2.27	3.35	3.15	3.82	2.83	1.44

表 5.12-1 (2) 地盤の解析用物性値一覧 (非液状化層)

パラメータ				原地盤					捨石
				第四系 (非液状化層)				新第三系	
				Ac	D2c-3	1m	D1c-1	Km	
物理特性	密度 () は地下水位以浅	ρ	g/cm ²	1.65	1.77	1.47 (1.43)	1.77	$1.72-1.03 \times 10^{-4} \cdot z$	2.04 (1.84)
	間隙比	e	—	1.59	1.09	2.8	1.09	1.16	0.82
変形特性	ポアソン比	ν_{CD}	—	0.10	0.22	0.14	0.22	$0.16+0.00025 \cdot z$	0.33
	基準平均有効主応力 () は地下水位以浅	σ'_{ma}	kN/m ²	480	696	249 (223)	696	動的変形特性に基づき z (標高) 毎に物性値を 設定	98
	基準初期せん断剛性 () は地下水位以浅	G_{ma}	kN/m ²	121829	285223	38926 (35783)	285223		180000
	最大履歴減衰率	h_{max}	—	0.200	0.186	0.151	0.186		0.24
強度特性	粘着力	C_{CD}	N/mm ²	0.025	0.026	0.042	0.026		$0.358-0.00603 \cdot z$
	内部摩擦角	ϕ_{CD}	度	29.1	35.6	27.3	35.6	$23.2+0.0990 \cdot z$	35

z : 標高 (m)

表 5.12-1 (3) 地盤の解析用物性値一覧 (新第三系 Km 層)

区分 番号	設定深度 TP(m) Z	適用深度 TP(m)	密度 ρ (g/cm ³)	静ポアソン比 ν^{CD}	粘着力 C_D (kN/m ²)	内部摩擦角 ϕ_{CD} ($^{\circ}$)	せん断波 速度Vs (m/s)	基準初期 せん断剛性 G _{ma} (kN/m ²)	基準体積 弾性係数 K _{ma} (kN/m ²)	基準平均有効 主応力 σ'_{ma} (kN/m ²)	拘束圧 依存係数 m ₆ , m ₆	最大履歴 減衰率 h _{max} (-)	動ポアソン比 ν^d	確密波 速度Vp (m/s)	1000*Vp
1	10	9.5 ~ 10.5	1.72	0.16	298	24.2	425	310,675	353,317	504	0.0	0.105	0.464	1,640	1,640,000
2	9	8.5 ~ 9.5	1.72	0.16	304	24.1	426	312,139	354,982	504	0.0	0.105	0.464	1,644	1,644,000
3	8	7.5 ~ 8.5	1.72	0.16	310	24.0	427	313,606	356,650	504	0.0	0.105	0.464	1,648	1,648,000
4	7	6.5 ~ 7.5	1.72	0.16	316	23.9	428	315,076	358,322	504	0.0	0.105	0.464	1,651	1,651,000
5	6	5.5 ~ 6.5	1.72	0.16	322	23.8	428	315,076	358,322	504	0.0	0.106	0.464	1,651	1,651,000
6	5	4.5 ~ 5.5	1.72	0.16	328	23.7	429	316,551	359,999	504	0.0	0.106	0.464	1,655	1,655,000
7	4	3.5 ~ 4.5	1.72	0.16	334	23.6	430	318,028	361,679	504	0.0	0.106	0.463	1,638	1,638,000
8	3	2.5 ~ 3.5	1.72	0.16	340	23.5	431	319,509	363,363	504	0.0	0.107	0.463	1,642	1,642,000
9	2	1.5 ~ 2.5	1.72	0.16	346	23.4	431	319,509	363,363	504	0.0	0.107	0.463	1,642	1,642,000
10	1	0.5 ~ 1.5	1.72	0.16	352	23.3	432	320,993	365,051	504	0.0	0.107	0.463	1,646	1,646,000
11	0	-0.5 ~ 0.5	1.72	0.16	358	23.2	433	322,481	366,743	504	0.0	0.107	0.463	1,650	1,650,000
12	-1	-1.5 ~ -0.5	1.72	0.16	364	23.1	434	323,972	368,439	504	0.0	0.108	0.463	1,653	1,653,000
13	-2	-2.5 ~ -1.5	1.72	0.16	370	23.0	435	325,467	370,139	504	0.0	0.108	0.463	1,657	1,657,000
14	-3	-3.5 ~ -2.5	1.72	0.16	376	22.9	435	325,467	370,139	504	0.0	0.108	0.463	1,657	1,657,000
15	-4	-4.5 ~ -3.5	1.72	0.16	382	22.8	436	326,965	371,843	504	0.0	0.108	0.463	1,661	1,661,000
16	-5	-5.5 ~ -4.5	1.72	0.16	388	22.7	437	328,467	373,551	504	0.0	0.109	0.462	1,644	1,644,000
17	-6	-6.5 ~ -5.5	1.72	0.16	394	22.6	438	329,972	375,262	504	0.0	0.109	0.462	1,648	1,648,000
18	-7	-7.5 ~ -6.5	1.72	0.16	400	22.5	438	329,972	375,262	504	0.0	0.109	0.462	1,648	1,648,000
19	-8	-8.5 ~ -7.5	1.72	0.16	406	22.4	439	331,480	376,977	504	0.0	0.109	0.462	1,652	1,652,000
20	-9	-9.5 ~ -8.5	1.72	0.16	412	22.3	440	332,992	378,697	504	0.0	0.110	0.462	1,656	1,656,000
21	-10	-11 ~ -9.5	1.72	0.16	418	22.2	441	334,507	380,420	504	0.0	0.110	0.462	1,659	1,659,000
22	-12	-13 ~ -11	1.72	0.16	430	22.0	442	336,026	382,147	504	0.0	0.110	0.462	1,663	1,663,000
23	-14	-15 ~ -13	1.72	0.16	442	21.8	444	339,074	385,614	504	0.0	0.111	0.462	1,671	1,671,000
24	-16	-17 ~ -15	1.72	0.16	454	21.6	445	340,603	387,352	504	0.0	0.111	0.461	1,654	1,654,000
25	-18	-19 ~ -17	1.72	0.16	467	21.4	447	343,671	390,842	504	0.0	0.112	0.461	1,662	1,662,000
26	-20	-21 ~ -19	1.72	0.16	479	21.2	448	345,211	392,593	504	0.0	0.112	0.461	1,665	1,665,000
27	-22	-23 ~ -21	1.72	0.15	491	21.0	450	348,300	381,471	498	0.0	0.112	0.461	1,673	1,673,000
28	-24	-25 ~ -23	1.72	0.15	503	20.8	452	351,403	384,870	498	0.0	0.113	0.461	1,680	1,680,000
29	-26	-27 ~ -25	1.72	0.15	515	20.6	453	352,959	386,574	498	0.0	0.113	0.460	1,664	1,664,000
30	-28	-29 ~ -27	1.72	0.15	527	20.4	455	356,083	389,996	498	0.0	0.114	0.460	1,672	1,672,000
31	-30	-31 ~ -29	1.72	0.15	539	20.2	456	357,650	391,712	498	0.0	0.114	0.460	1,675	1,675,000
32	-32	-33 ~ -31	1.72	0.15	551	20.0	458	360,794	395,155	498	0.0	0.115	0.460	1,683	1,683,000
33	-34	-35 ~ -33	1.72	0.15	563	19.8	459	362,371	396,883	498	0.0	0.115	0.459	1,667	1,667,000
34	-36	-37 ~ -35	1.72	0.15	575	19.6	461	365,536	400,349	498	0.0	0.115	0.459	1,675	1,675,000
35	-38	-39 ~ -37	1.72	0.15	587	19.4	462	367,124	402,088	498	0.0	0.116	0.459	1,678	1,678,000
36	-40	-41 ~ -39	1.72	0.15	599	19.2	464	370,309	405,577	498	0.0	0.116	0.459	1,685	1,685,000
37	-42	-43 ~ -41	1.72	0.15	611	19.0	465	371,907	407,327	498	0.0	0.117	0.459	1,689	1,689,000
38	-44	-45 ~ -43	1.72	0.15	623	18.8	467	375,113	410,838	498	0.0	0.117	0.458	1,678	1,678,000
39	-46	-47 ~ -45	1.72	0.15	635	18.6	468	376,721	412,599	498	0.0	0.117	0.458	1,681	1,681,000
40	-48	-49 ~ -47	1.72	0.15	647	18.4	470	379,948	416,134	498	0.0	0.118	0.458	1,688	1,688,000
41	-50	-51 ~ -49	1.73	0.15	660	18.3	472	385,416	422,122	498	0.0	0.118	0.458	1,696	1,696,000
42	-52	-53 ~ -51	1.73	0.15	672	18.1	473	387,051	423,913	498	0.0	0.118	0.458	1,699	1,699,000
43	-54	-55 ~ -53	1.73	0.15	684	17.9	475	390,331	427,505	498	0.0	0.118	0.457	1,688	1,688,000
44	-56	-57 ~ -55	1.73	0.15	696	17.7	476	391,976	429,307	498	0.0	0.119	0.457	1,692	1,692,000
45	-58	-59 ~ -57	1.73	0.15	708	17.5	478	395,277	432,922	498	0.0	0.119	0.457	1,699	1,699,000
46	-60	-61 ~ -59	1.73	0.15	720	17.3	479	396,933	434,736	498	0.0	0.120	0.457	1,702	1,702,000
47	-62	-63 ~ -61	1.73	0.14	732	17.1	481	400,255	422,491	492	0.0	0.120	0.457	1,709	1,709,000
48	-64	-65 ~ -63	1.73	0.14	744	16.9	482	401,921	424,250	492	0.0	0.120	0.456	1,695	1,695,000
49	-66	-67 ~ -65	1.73	0.14	756	16.7	484	405,263	427,778	492	0.0	0.120	0.456	1,702	1,702,000
50	-68	-69 ~ -67	1.73	0.14	768	16.5	485	406,939	429,547	492	0.0	0.121	0.456	1,705	1,705,000
51	-70	-71 ~ -69	1.73	0.14	780	16.3	487	410,302	433,097	492	0.0	0.121	0.456	1,712	1,712,000
52	-72	-73 ~ -71	1.73	0.14	792	16.1	489	413,679	436,661	492	0.0	0.121	0.456	1,719	1,719,000
53	-74	-75 ~ -73	1.73	0.14	804	15.9	490	415,373	438,449	492	0.0	0.122	0.455	1,705	1,705,000
54	-76	-77 ~ -75	1.73	0.14	816	15.7	492	418,771	442,036	492	0.0	0.122	0.455	1,712	1,712,000
55	-78	-79 ~ -77	1.73	0.14	828	15.5	493	420,475	443,835	492	0.0	0.122	0.455	1,716	1,716,000
56	-80	-81 ~ -79	1.73	0.14	840	15.3	495	423,893	447,443	492	0.0	0.122	0.455	1,723	1,723,000
57	-82	-85 ~ -81	1.73	0.14	852	15.1	496	425,608	449,253	492	0.0	0.123	0.455	1,726	1,726,000
58	-88	-90 ~ -85	1.73	0.14	889	14.5	501	434,232	458,356	492	0.0	0.124	0.454	1,726	1,726,000
59	-92	-95 ~ -90	1.73	0.14	913	14.1	504	439,448	463,862	492	0.0	0.124	0.454	1,736	1,736,000
60	-98	-101 ~ -95	1.73	0.14	949	13.5	509	448,210	473,111	492	0.0	0.125	0.453	1,736	1,736,000
61	-104	-108 ~ -101	1.73	0.13	985	12.9	513	455,282	463,485	486	0.0	0.126	0.452	1,733	1,733,000
62	-112	-115 ~ -108	1.73	0.13	1,033	12.1	519	465,995	474,391	486	0.0	0.127	0.451	1,737	1,737,000
63	-118	-122 ~ -115	1.73	0.13	1,070	11.5	524	475,016	483,575	486	0.0	0.127	0.451	1,754	1,754,000
64	-126	-130 ~ -122	1.73	0.13	1,118	10.7	530	485,957	494,713	486	0.0	0.128	0.450	1,758	1,758,000

(3) 地震動の選定

(a) 地震動の選定概要

スロッシング解析に用いる地震動の選定は、 S_d-D1 に対して地盤物性のばらつきを考慮したものとする。また、スロッシング波高は入力する地震動の速度応答スペクトルと比例する^{*}。このため、スロッシング解析モデル下端（計画海底面 T.P. -6.89 m）における速度応答スペクトルを比較し、貯留堰水面の1次固有周期を考慮した地震動の選定を行う。

※ 容器構造設計指針・同解説（日本建築学会）より

(b) 地震動の選定に用いる地盤物性

地震動の選定において考慮する地盤物性は表 5.12-2 に示す 6 ケースとする。

表 5.12-2 地震動の選定において考慮する地盤物性検討ケース

ケース番号	①	②	③	④	⑤	⑥
ケース名称	V_s 平均値 (液化パラメータ適用)	$V_s + 1\sigma$ (液化パラメータ適用)	$V_s - 1\sigma$ (液化パラメータ適用)	豊浦標準砂	V_s 平均値 (非液化)	$V_s + 1\sigma$ (非液化)
地盤物性の考え方	原地盤に基づく液化強度特性を用いた解析ケース(基本ケース)	地盤物性のばらつきを考慮(+1 σ)した解析ケース	地盤物性のばらつきを考慮(-1 σ)した解析ケース	地盤を強制的に液化させることを仮定した解析ケース	原地盤において非液化の条件を仮定した解析ケース	地盤物性のばらつきを考慮(+1 σ)した非液化の条件を仮定した解析ケース
液化強度特性の設定	原地盤に基づく液化強度特性(標準偏差を考慮)	原地盤に基づく液化強度特性(標準偏差を考慮)	原地盤に基づく液化強度特性(標準偏差を考慮)	敷地に存在しない豊浦標準砂の液化強度特性	液化パラメータを非適用	液化パラメータを非適用

(c) 水面の1次固有周期の算出

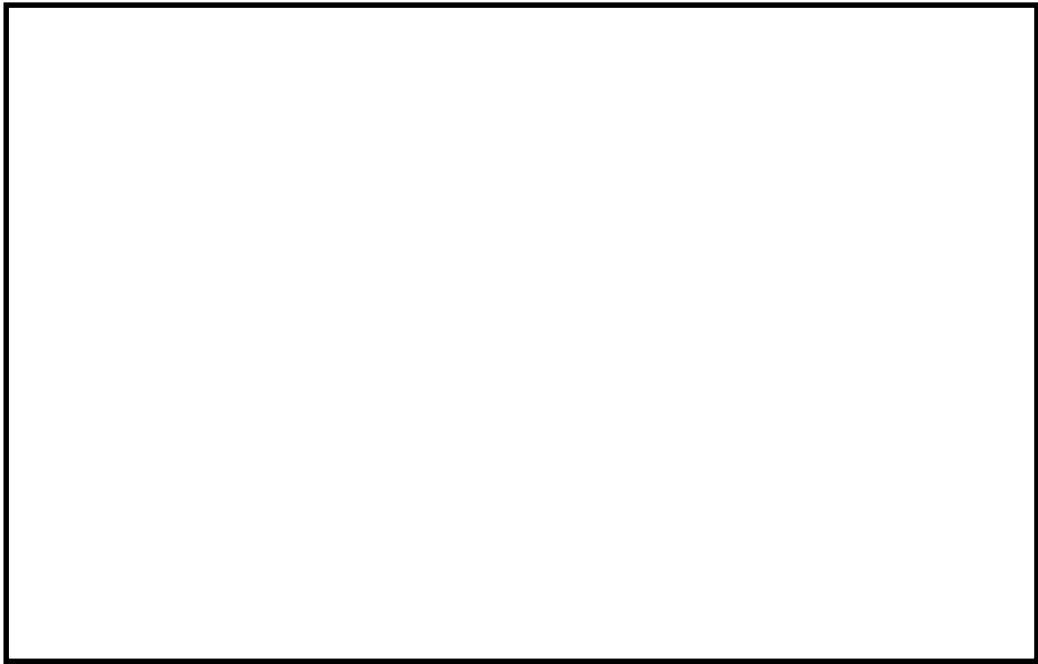
加振方向、水槽形状を考慮した3ケースについて、水面の1次固有周期を算出する。算出には以下の式*を用いる。検討に用いた3ケースの水槽形状の考え方を図5.12-9に、1次固有周期算定結果を表5.12-3に示す。

$$T_s = \frac{2\pi}{\omega}$$
$$\omega^2 = \sqrt{\frac{5}{2}} \cdot \frac{g}{l} \cdot \tanh\left(\sqrt{\frac{5}{2}} \cdot \frac{h}{l}\right)$$

ここに、

- T_s : 1次固有周期
- ω : 1次固有円振動数
- g : 重力加速度
- l : 水槽の幅の半分 (貝代 10 cm 考慮)
- h : 水深

※ 容器構造設計指針・同解説 (日本建築学会) より



(a) 平面図



(b) 断面図

図 5.12-9 水槽形状の考え方

表 5.12-3 1次固有周期算定結果

項目	記号	単位	ケースA	ケースB	ケースC	数式
水槽の幅	$2l$	m	77.53	62.46	7.25	
	l	m	38.77	31.23	3.63	
貯留堰天端		T.P.m	-4.90	-4.90	-4.90	
底面		T.P.m	-6.89	-6.89	-7.75	
水深	h	m	1.99	1.99	2.85	
重力加速度	g	m/s^2	9.80665	9.80665	9.80665	
固有円振動数の2乗	ω^2	1/s	0.0324	0.0499	3.6201	$(5/2)^{0.5} * g / l * \tanh((5/2)^{0.5} * h / l)$
固有円振動数	ω	1/s	0.180	0.223	1.903	$(\omega^2)^{0.5}$
固有周期	T_S	s	34.91	28.14	3.30	$\text{round}(2\pi/\omega, 2)$

(d) 地震動の選定

スロッシング解析モデル下端（計画海底面 T.P. -6.89 m）における速度応答スペクトル（水平方向）を図 5.12-10 に示す。貯留堰水面の 1 次固有周期を考慮し、⑤ V_s 平均値（非液状化）をスロッシング解析に用いる入力地震動として選定する。

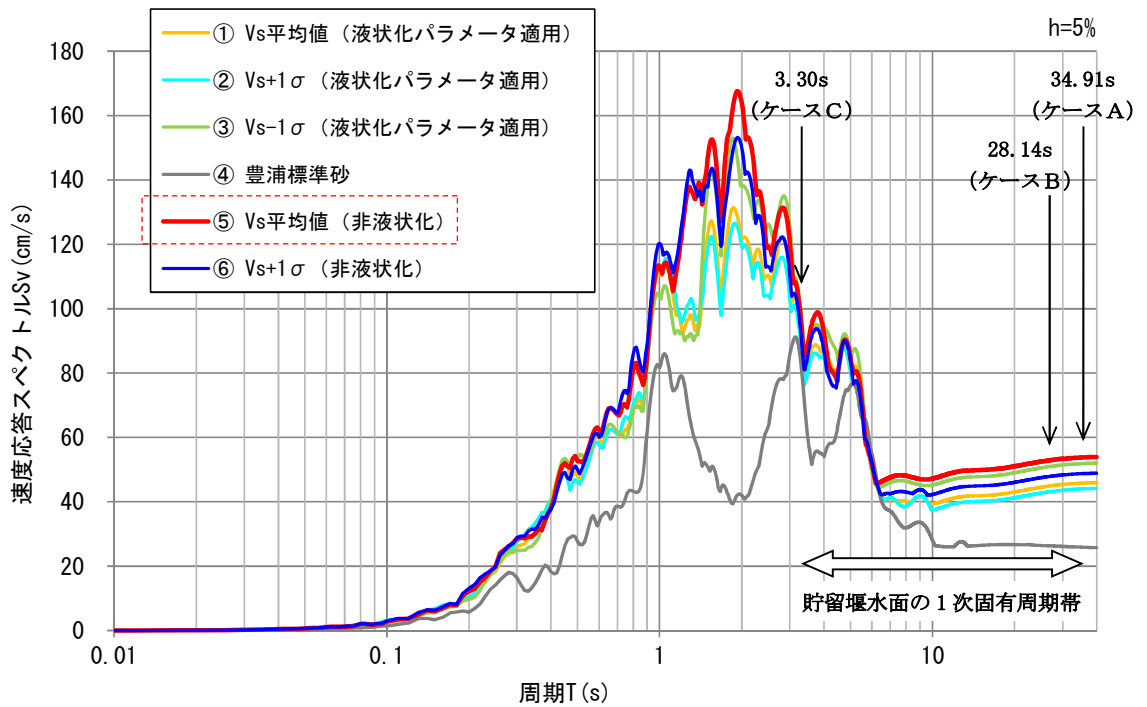


図 5.12-10 (1) 速度応答スペクトル（水平方向）

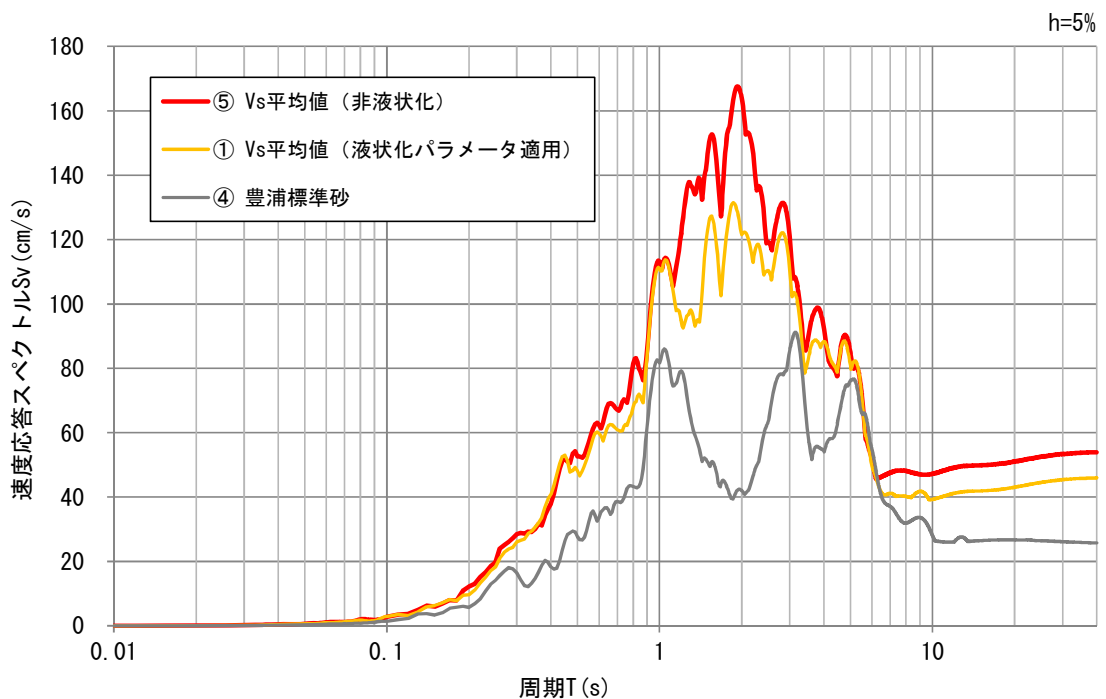
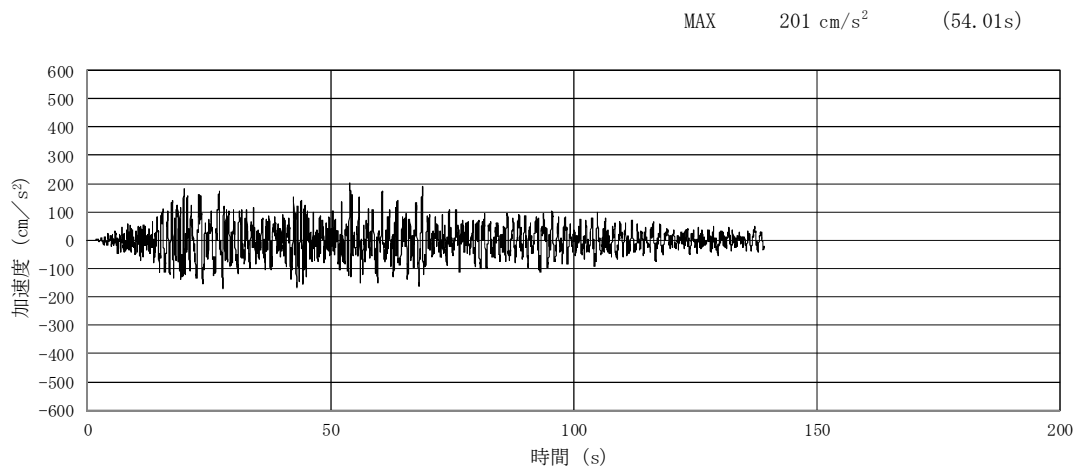


図 5.12-10 (2) 速度応答スペクトル（水平方向）【抜粋】

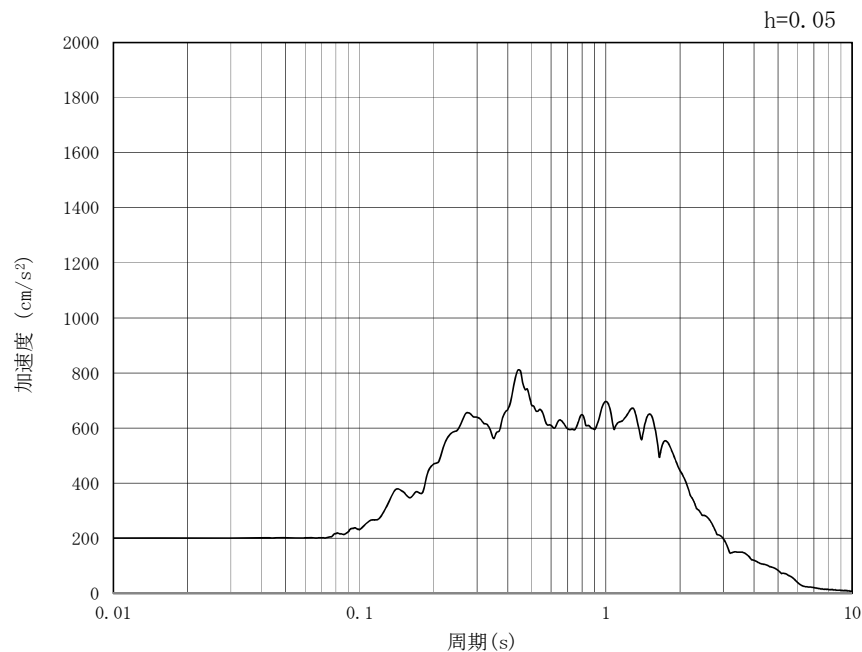
(d) 入力地震動

スロッシング解析モデル下端（計画海底面 T.P. -6.89 m）における S_d-D1 （⑤Vs 平均値（非液状化））の加速度時刻歴及び加速度応答スペクトル（水平方向及び鉛直方向）を図 5.12-11 示す。

S_d-D1 の水平成分は方向を持たないため、護岸法線直角（東西）方向に加振した場合と護岸法線平行（南北）方向に加振した場合の 2 ケースに対してスロッシング解析を実施する。



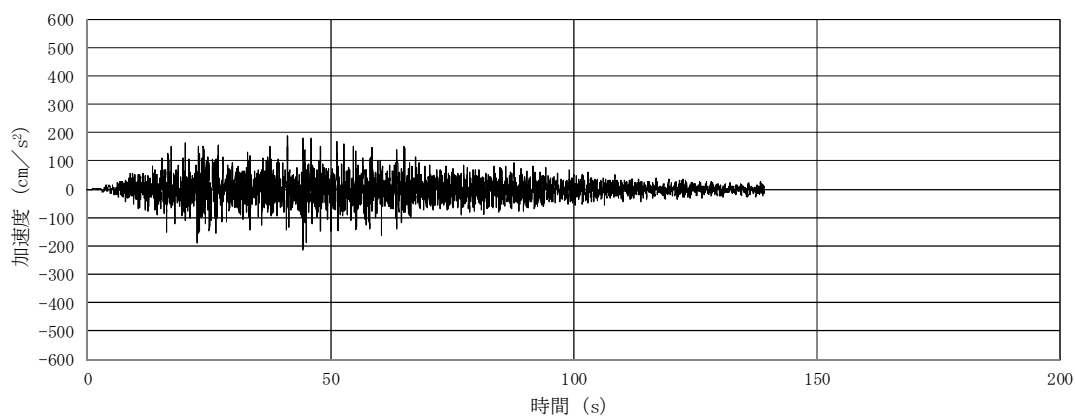
(a) 加速度時刻歴波形



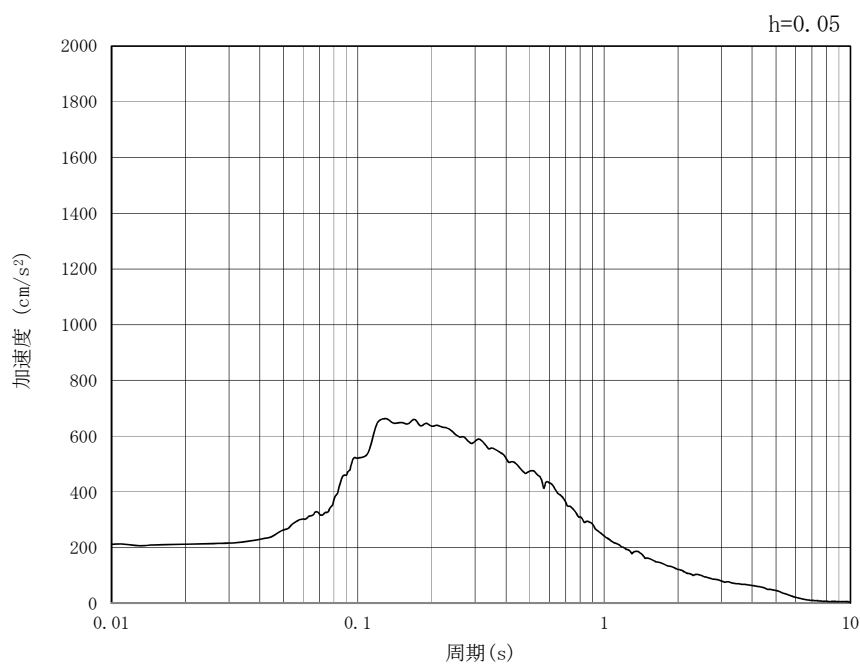
(b) 加速度応答スペクトル

図 5.12-11 (1) 入力地震動の加速度時刻歴波形及び加速度応答スペクトル（水平方向）
（ S_d-D1 ，⑤Vs 平均値（非液状化））

MAX 212 cm/s² (44.3s)



(a) 加速度時刻歴波形



(b) 加速度応答スペクトル

図 5.12-11 (2) 入力地震動の加速度時刻歴波形及び加速度応答スペクトル (鉛直方向)
(S_d-D1, ⑤Vs 平均値 (非液化化))

5.12.4 検討ケースの選定

(1) 初期水位

スロッシング解析の初期水位は、貯留堰天端高である T.P. -4.9 m に加え、引き波が継続する間も非常用海水ポンプによる取水が行われた場合の水位についても初期水位として検討するものとする。考慮する非常用海水ポンプによる取水時間は、引き波の継続時間を保守的に考慮した 5 分間とする。

検討項目 1（貯留量が確保されていることを確認）については、水位が高い場合に溢水量が大きくなるため、初期水位を T.P. -4.9 m として検討する。また、検討項目 2（取水可能限界水位を下回らないことを確認）については、水位が低い場合に厳しい条件となるため、初期水位を T.P. -5.1 m として検討する。

5 分間非常用海水ポンプによる取水が行われた場合の水位は以下のとおり。解析に用いる初期水位を表 5.12-4 に示す。

$$\begin{aligned} \text{5 分間の水位低下量} &= (\text{非常用海水ポンプ取水能力} \times 5 \text{ 分}) / \text{有効貯水面積} \\ &= (72.05 \text{ m}^3/\text{min} \times 5 \text{ min}) / 3,129.16 \text{ m}^2 \\ &= 0.115 \text{ m} \end{aligned}$$

5 分間非常用海水ポンプによる

$$\begin{aligned} \text{取水が行われた場合の水位} &= \text{貯留堰天端高} - \text{5 分間の水位低下量} \\ &= \text{T.P. -4.9 m} - 0.115 \text{ m} \\ &= \text{T.P. -5.015 m} \rightarrow \underline{\text{T.P. -5.1 m}} \end{aligned}$$

表 5.12-4 初期水位

対象検討項目	初期水位	備考
検討項目 1（貯留量が確保されることを確認）	T.P. -4.9 m	貯留堰天端高
検討項目 2（取水可能限界水位を下回らないことを確認）	T.P. -5.1 m	5 分間非常用海水ポンプによる取水が行われた場合の水位

(2) 有効容量

検討に用いる貯留堰の有効容量と運転継続可能時間の関係を表 5.12-5 に示す。

表 5.12-5 有効容量と運転継続可能時間

有効容量	2,378 m ³
運転継続可能時間	33 分

5.12.5 解析条件

スロッシング解析は、オープンソースの有限体積法(Finite Volume Method) (以下「FVM」という)解析コード OpenFOAM を用いた三次元解析を実施する。

本検討では、VOF 法による 2 相流解析ソルバー-interFOAM を用いる。計算メッシュ全体に加速度時刻歴を入力することにより、計算領域内部の気相(空気)および液相(海水)の挙動を解析する。

モデル化範囲及び解析条件を表 5.12-6 に示す。また、水位時刻歴波形の抽出位置(①~③)を図 5.12-12 に、スロッシング解析モデルを図 5.12-13 に示す。

表 5.12-6 モデル化範囲及び解析条件

モデル化範囲	<ul style="list-style-type: none"> ● 貯留堰からポンプ室まで
溢水量	<ul style="list-style-type: none"> ● 取水口前面に設置する貯留堰天端高さ (T.P. -4.9 m) 以上に上昇し、貯留堰より外側に溢れた水を溢水量として計算。
初期水位	<ul style="list-style-type: none"> ● T.P. -4.9 m (貯留堰天端高) ● T.P. -5.1 m (5 分間非常用海水ポンプによる取水が行われた場合の水位)
計算時間	<ul style="list-style-type: none"> ● 5 分間 (300 秒間) (引き波を継続時間約 3 分を保守的に考慮) ● 地震動による加振 (余震継続時間 139.28 秒) 終了後も解析を継続する。
解析コード	<ul style="list-style-type: none"> ● OpenFOAM (v1706) ● オープンソースの流体解析ソフトウェアであり、実験結果等との比較を行い、スロッシング現象を精度よく計算できることが確認されている。
水位抽出位置	<ul style="list-style-type: none"> ● 非常用海水ポンプ部での水位変動を確認するために、非常用海水ポンプ (残留熱除去系海水ポンプ) 位置である①~④の 4 点を水位抽出位置とする。 ● 貯留堰天端を超える様子を確認するために、貯留堰東端、北端及び南端の代表点として⑤~⑦の 3 点 (各壁の中央部) を水位抽出位置とする。
その他	<ul style="list-style-type: none"> ● 貯留堰内部の構造物 (カーテンウォールやその支柱、スクリーンなど) は溢水量を保守的に考慮するため、モデル化しない。 ● 格子サイズは $D_x = 25\text{cm}$, $D_y = 25\text{cm}$, $D_z = 20\text{cm}$ を基本とする。 ● 貯留堰鋼管矢板 ($\phi 2,000$) は、モデル簡略化のため貯留堰内側の壁面形状を直線 (隅角部は曲線) としてモデル化する。

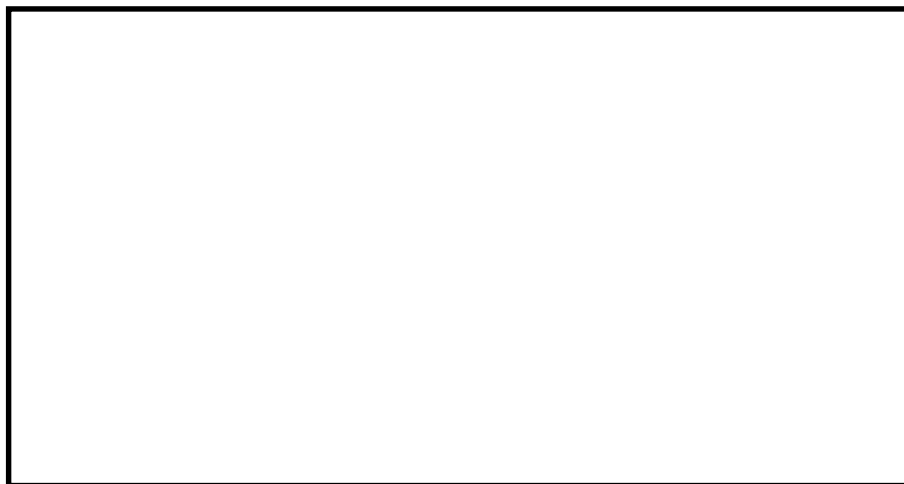


図 5.12-12 水位時刻歴波形抽出位置



(a) 平面図



(b) 鳥瞰図（北側より）



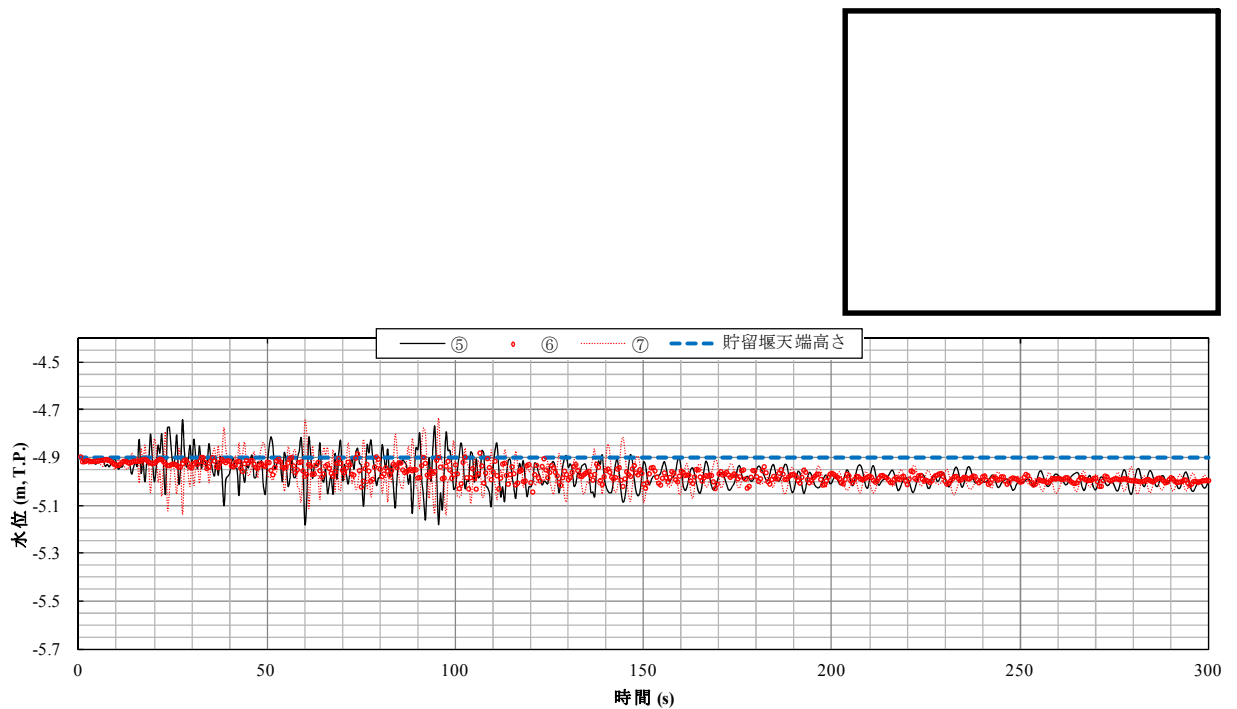
(c) 鳥瞰図（東側より）

図 5.12-13 解析モデル (OpenFOAM)

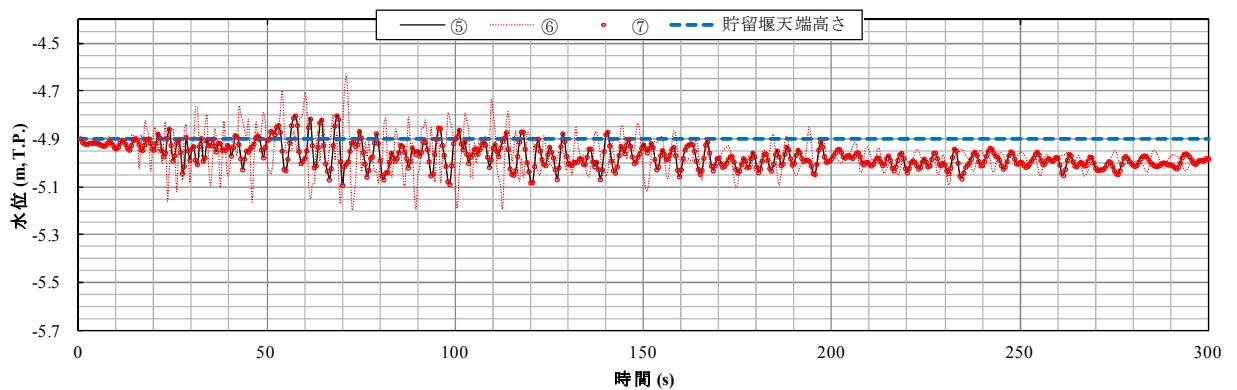
5.12.6 解析結果

(1) 検討項目 1 (貯留量が確保されることを確認, 初期水位=T.P. -4.9 m)

貯留堰位置 (⑤~⑦) におけるスロッシング時の水位時刻歴グラフを図 5.12-14 に示す。また, スロッシングによる 5 分間の溢水量を表 5.12-7 に示す。



(a) 護岸法線平行方向に加振



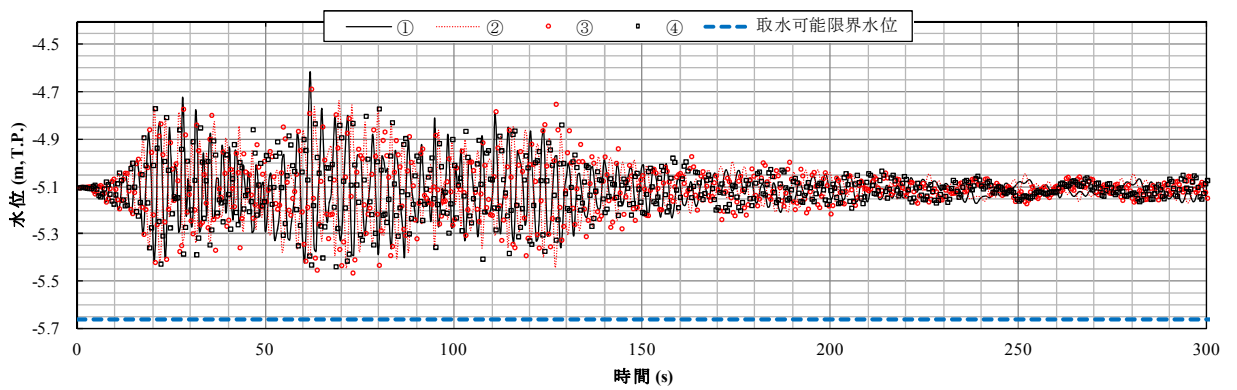
(b) 護岸法線直角方向に加振

図 5.12-14 貯留堰位置におけるスロッシング時の水位時刻歴グラフ

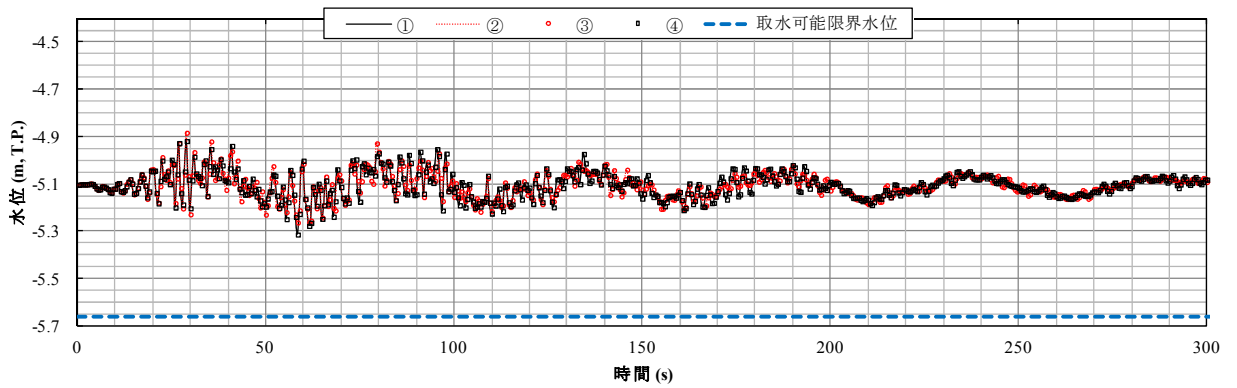
表 5.12-7 スロッシングによる 5 分間の溢水量

加振方向	溢水量
(a) 護岸法線平行方向に加振	301 m ³
(b) 護岸法線直角方向に加振	301 m ³

- (2) 検討項目 2 (取水可能限界水位を下回らないことを確認, 初期水位=T.P. -5.1 m)
 非常用海水ポンプ位置 (①~④) におけるスロッシング時の水位時刻歴を図 5.12-15
 に示す。また, 非常用海水ポンプ位置でのスロッシング時の最低水位を表 5.12-8 に示す。



(a) 護岸法線平行方向に加振



(b) 護岸法線直角方向に加振

図 5.12-15 スロッシング時の水位時刻歴 (護岸法線平行方向に加振)

表 5.12-8 スロッシング時の最低水位

加振方向	①における 最低水位	②における 最低水位	③における 最低水位	④における 最低水位
(a) 護岸法線平行方向に加振	T. P. -5.42 m	T. P. -5.45 m	T. P. -5.47 m	T. P. -5.44 m
(b) 護岸法線直角方向に加振	T. P. -5.32 m	T. P. -5.27 m	T. P. -5.27 m	T. P. -5.32 m

5.12.7 検討結果まとめ

(1) 貯留量の確保について（溢水量の評価）

スロッシングによる5分間の溢水量は、301 m³であり、スロッシングによる溢水を考慮した非常用海水ポンプの運転継続可能時間は約28分となる。よって、スロッシングによる溢水を考慮しても、水位が貯留堰天端を下回る時間の約3分に対して十分な貯留量が確保されていることを確認した。図5.12-16に水位イメージ図を示す。

・スロッシングによる5分間の溢水量 = 301 m³

・溢水を考慮した非常用海水

$$\begin{aligned} \text{ポンプの運転継続可能時間} &= (\text{有効容量} - \text{溢水量}) \div \text{非常用海水ポンプ取水能力} \\ &= (2,378 \text{ m}^3 - 301 \text{ m}^3) \div 72.05 \text{ m}^3/\text{分} \\ &= 28.83 \text{ 分} \rightarrow \underline{28 \text{ 分}} \end{aligned}$$

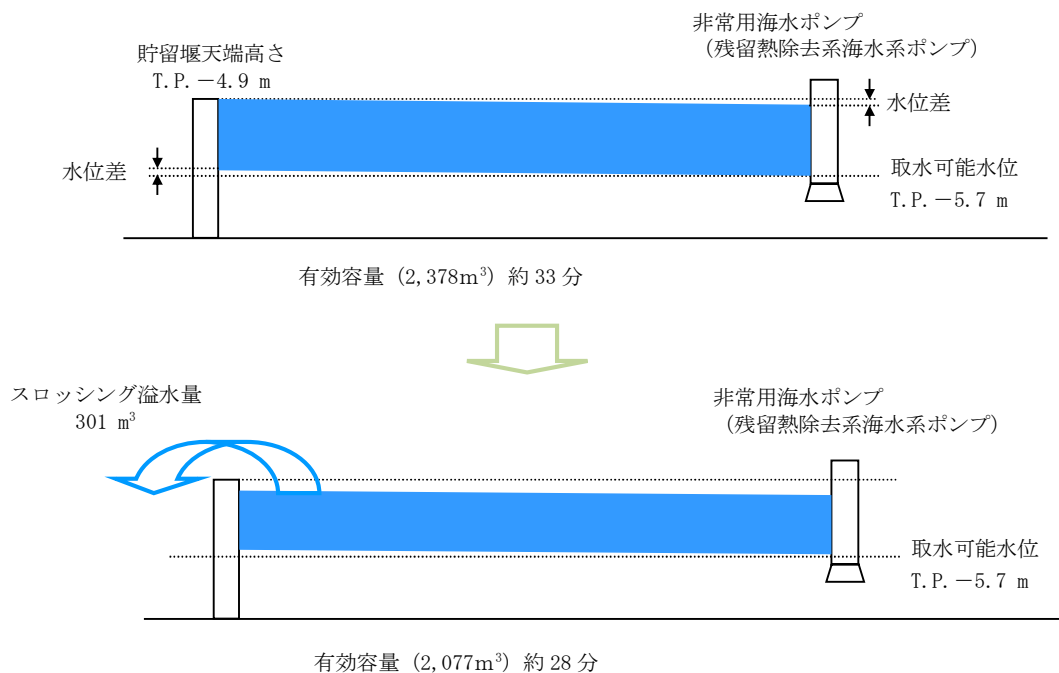


図 5.12-16 水位イメージ図

(2) 取水可能限界水位を下回らないことの確認について

非常用海水ポンプ位置でのスロッシング時の最低水位は約 T.P. -5.5 m である。よって、スロッシングによる溢水及び水面の乱れを考慮した場合においても、水位が非常用海水ポンプの取水可能限界水位 (T.P. -5.7 m) を下回らないことを確認した。

・スロッシング時の最低水位 = T.P. -5.47 m → T.P. -5.5 m

スロッシングによる貯留堰貯水量に対する影響評価に関する参考資料

(参考) スロッシング解析に用いた解析コード「OpenFOAM」の適用性について

1. 解析コード概要

コード名 項目	OpenFOAM
使用目的	3次元数値流体解析（スロッシング解析）
開発機関	OpenCFD Ltd
開発時期	2004年
使用したバージョン	v1706
計算機コードの概要	<p>本解析コードは、2004年からGPL（GNU General Public License）のもとでソースコードが公開されている流体解析モデルである。</p> <p>本解析コードは、多相流や燃焼、磁場などの用途に応じた各種ソルバーを有しており、前処理や後処理のためのアプリケーションも充実している。コードはC++で記述されたオブジェクト群で構成されている。¹⁾</p> <p>化学反応や熱伝達を含む複雑な流体の流れのシミュレーションが可能である。</p>
検証 (Verification) 及び 妥当性確認 (Validation)	<p>OpenFOAM v1706は、津波引き波時に発生する余震による貯留堰内のスロッシングの評価に用いている。</p> <p>【検証 (Verification) 及び妥当性確認 (Validation)】</p> <p>本解析コードの検証及び妥当性確認の内容は、次の通りである。</p> <ul style="list-style-type: none"> ・本解析コードは、国内外の土木建築分野のみならず多くの分野において、3次元数値流体力学ツールとしての使用実績を有している。 ・本解析コードはVOF法（Volume of Fluid法）による自由表面解析手法を有する。VOF法は「原子力発電所耐震設計技術規程 JEAC4601-2008」において、スロッシング解析における精度の高い手法であり、複雑な容器形状や流体の非線形現象を考慮する場合に有効であると記載されている。 ・本解析コードによる解析結果とスロッシング実験画像とを比較し、双方の水面形変化が概ね一致することを確認している。

2. 解析手法について

2.1 一般事項

本解析コードは、数値流体力学の解析コードである。今回は、津波引き波時に発生する余震による貯留堰内のスロッシング解析に用いている。

2.2 解析コードの特徴

OpenFOAM の主な特徴を以下に示す。²⁾

- ① 水と空気の不混和流体の非圧縮性の二相流を対象とした解析コード（interFoam ソルバー）を有する。
- ② 非圧縮性流体の連続式及び Navier-Stokes 方程式を基礎方程式として、有限体積法によって離散化し PISO 法（Pressure-Implicit with Splitting of Operators）を用いて流速と圧力を計算する。
- ③ 気液界面の追跡には VOF 法（Volume of Fluid 法）を選択できる。
- ④ 遡上津波等の沿岸の津波挙動や波浪変形、越波、越流などが計算可能である。

2.3 解析理論

2.3.1 基礎方程式¹⁾

基礎方程式は、以下に示す連続式 (式 1) と非圧縮性流体の Navier-Stokes 方程式 (式 2) である。

$$\nabla \cdot U = 0 \quad \dots \text{(式 1)}$$

$$\frac{\partial \rho U}{\partial t} + \nabla \cdot (\rho U U) = -\nabla p^* + \nabla \cdot \tau + \rho g + f_s \quad \dots \text{(式 2)}$$

ここに,

∇ : 3次元領域におけるベクトル微分演算子

U : 流速ベクトル

ρ : 密度

p^* : 擬似動圧

τ : 粘性応力テンソル

g : 重力加速度ベクトル

f_s : 表面張力に相当する体積力

2.3.2 VOF (Volume of Fluid) の移流方程式¹⁾

OpenFOAM の interFoam ソルバーでは、(式 1) 及び (式 2) を有限体積法によって離散化し、PISO (Pressure-Implicit with Splitting of Operators) 法を用いて流速と圧力を計算している。気液界面の追跡には、VOF (Volume of Fluid) 法を用いている。

OpenFOAM における VOF の移流方程式を以下に示す。

$$\frac{\partial \alpha}{\partial t} + \nabla \cdot U \alpha + \nabla \cdot U_C \alpha (1 - \alpha) = 0 \quad \dots \text{(式 3)}$$

$$U = \alpha U_{water} + (1 - \alpha) U_{air} \quad \dots \text{(式 4)}$$

$$U_C = U_{water} - U_{air} \quad \dots \text{(式 5)}$$

ここに,

α : 流体の体積率を表す VOF 値 ($0 \leq \alpha \leq 1$)

U : 流速

U_C : 気液の相対流速

U_{water} : 液相の流速

U_{air} : 気相の流速

2.3.3 VOF (Volume of Fluid) 法について

VOF 法とは、気液二相流などの二つの流体が存在する流れ場を解析する手法の一つである。気液二相流の場合、各計算セル中における液体の体積割合を流体率 α として定義し、流体率の輸送計算を行うことで気液界面位置の変化を計算する。³⁾

VOF 値の概念図を図 1 示す。

$$\alpha = \frac{V_{water}}{V} \quad \dots (式6)$$

ここに、

α : 流体の体積率を表す VOF 値 ($0 \leq \alpha \leq 1$)

V_{water} : 流体 (水) の体積

V : 計算メッシュの体積

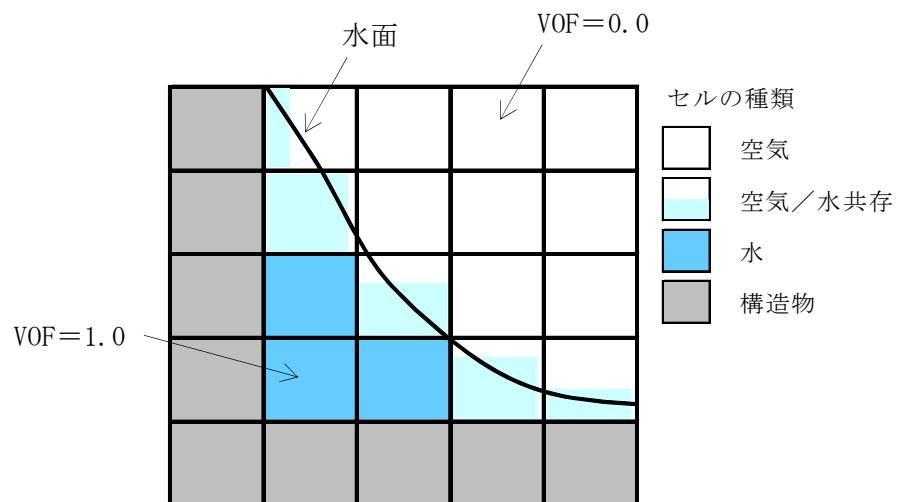


図 1 VOF 値の概念図

3. 検証 (Verification) 及び妥当性確認 (Validation)

3.1 スロッシング実験画像と OpenFOAM の解析結果との比較

本解析コードを今回の解析に用いるに当たり、検証及び妥当性確認として、スロッシング実験画像と OpenFOAM の解析結果との比較を実施した。実験画像には、土木学会によるスロッシングベンチマークテスト⁴⁾においても引用されている Kishev et al. 2006 を使用した。

スロッシングタンク内の水面形変化の比較を表 1 に示す。また、スロッシングタンク内における左側壁 ($x=0.0\text{m}$)、タンク中央 ($x=0.3\text{m}$)、右側壁 ($x=0.6\text{m}$) の 3 点を抽出し、OpenFOAM の水位時刻歴と実験画像の水面位置とを比較した結果を表 2 に示す。

OpenFOAM による数値解析結果は、スロッシング実験画像を良好に再現できている。

表 1 スロッシングタンク内の水面形変化の比較

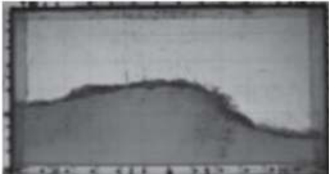

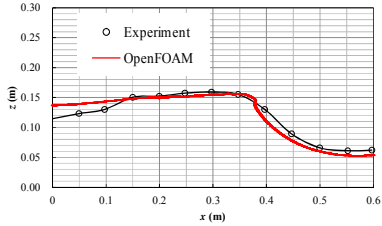
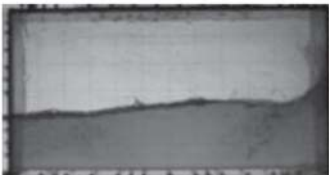

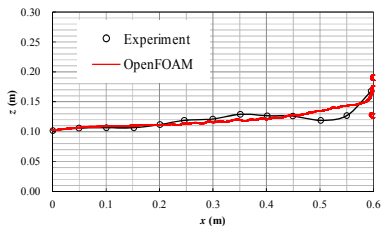
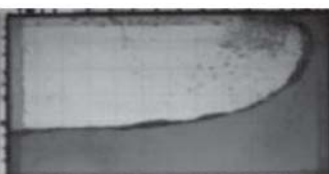
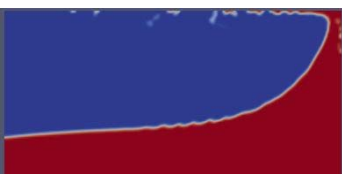
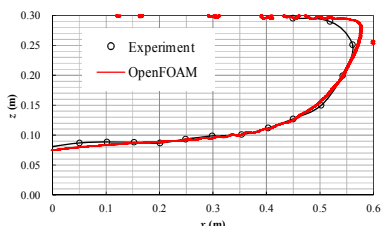
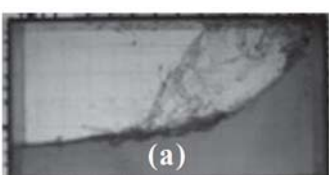
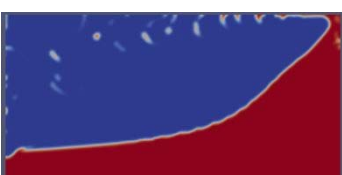
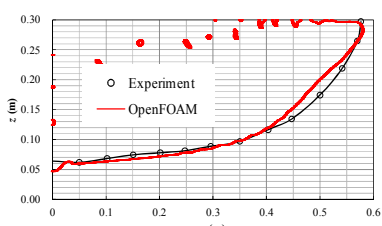
時刻 (s)	① 実験画像 (Kishev et al. 2006 より)	② OpenFOAM 解析結果	③ ①と②の水面形比較 画像重ね合わせ
1.50			
1.63			
1.76			
1.89			

表2 スロッシングタンク内の水位時刻歴の比較

位置 x (m)	水位時刻歴の比較
0.0 (左側壁)	
0.3 (タンク中央)	
0.6 (右側壁)	

3.2 評価結果

「3.1 スロッシング実験画像と OpenFOAM の解析結果との比較」に示す比較結果より、OpenFOAM はスロッシングタンク内の水面形変化を精度良く再現できることから、貯留堰内のスロッシング現象を十分再現可能である。

したがって、津波引き波時に発生する余震による貯留堰内のスロッシングの評価にあたっては、OpenFOAM は適用可能である。

5. 参考資料

- 1) 3次元数値流体力学ツール OpenFOAM における自由表面解析手法の妥当性に関する検討, 土木学会論文集 B3 (海洋開発), Vol. 69, No. 2, I_748-753, 2013
- 2) 原子力発電所の津波評価技術 2016 本編 6.1.4, 平成 28 年 9 月
- 3) 国立研究開発法人 日本原子力研究開発機構 原子力機構の研究開発成果ウェブサイト (http://jolisfukyu.tokai-sc.jaea.go.jp/fukyu/review_jp/kaisetsu/636.html)
- 4) 「統一ベンチマークテストによる数値モデルの特性評価, 土木学会水工学委員会・海岸工学委員会, 水工学シリーズ 12-B-8, 2012 年 8 月」

(参考) その他の地盤物性を用いたスロッシング解析結果

1. 概要

「5.12 スロッシングによる貯留堰貯水量に対する影響評価」では、貯留堰水面の1次固有周期帯で速度応答スペクトルが最大となる⑤Vs平均値(非液状化)をスロッシング解析に用いる地震動として選定し、スロッシングによる貯留堰貯水量に対する影響を評価した。

本参考資料では、「5.12 スロッシングによる貯留堰貯水量に対する影響評価」において選定した⑤Vs平均値(非液状化)のみならず、全周期帯で比較した場合に速度応答スペクトルの大きさが拮抗しているケース、並びに標準的な解析ケース(①Vs平均値(液状化パラメータ適用))についても同様のスロッシング解析を補足的に実施し、スロッシングによる貯留堰貯水量に対する影響を確認した。

スロッシング解析モデル下端(計画海底面 T.P. -6.89 m)における速度応答スペクトル(水平方向)を図1-1に示す。

本参考資料では、「5.12 スロッシングによる貯留堰貯水量に対する影響評価」において選定した周期2秒付近で最大となる⑤Vs平均値(非液状化)に加え、周期0.8秒付近で最大となる⑥Vs+1σ(非液状化)、周期3秒付近で最大となる③Vs-1σ(液状化パラメータ適用)並びに標準的な解析ケースである①Vs平均値(液状化パラメータ適用)の全4ケースに対して整理を行う。

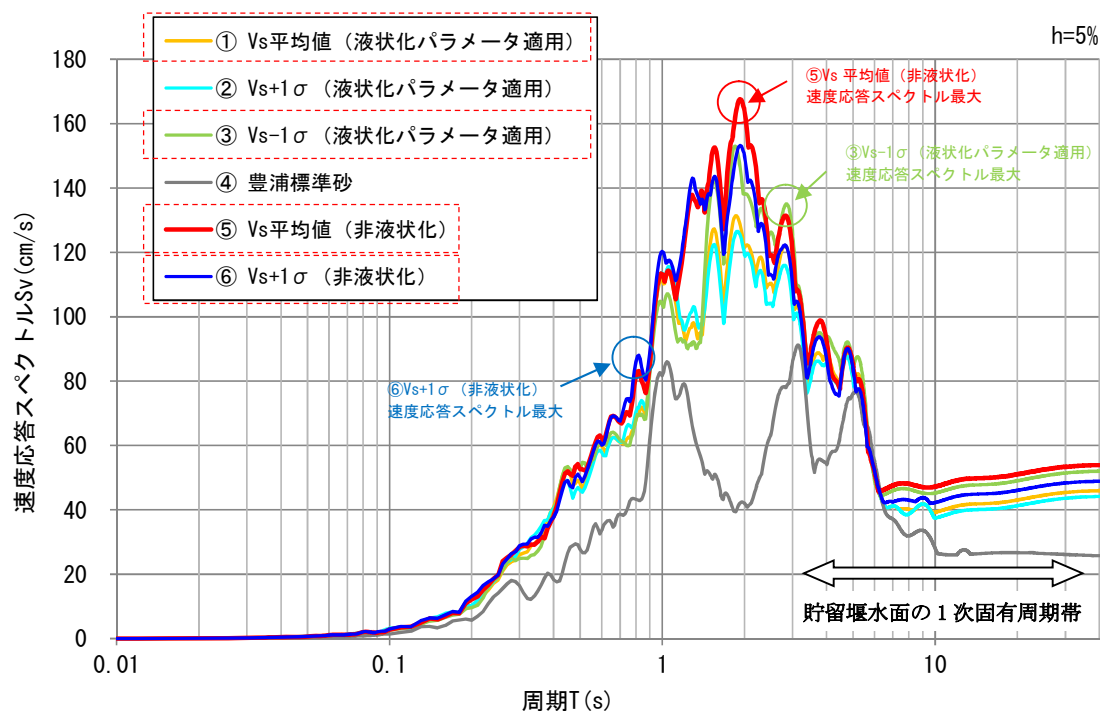


図1-1 速度応答スペクトル (水平方向)

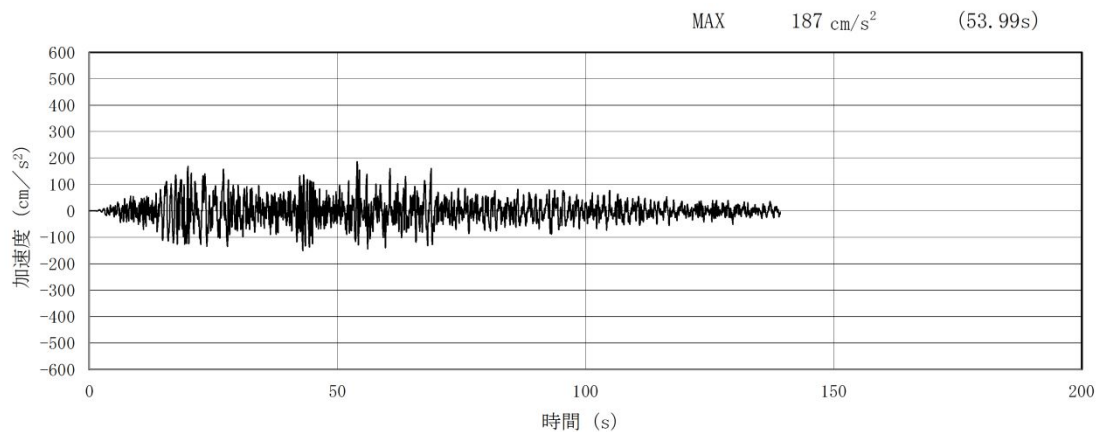
(参考) 5.12-10

2. 検討方針

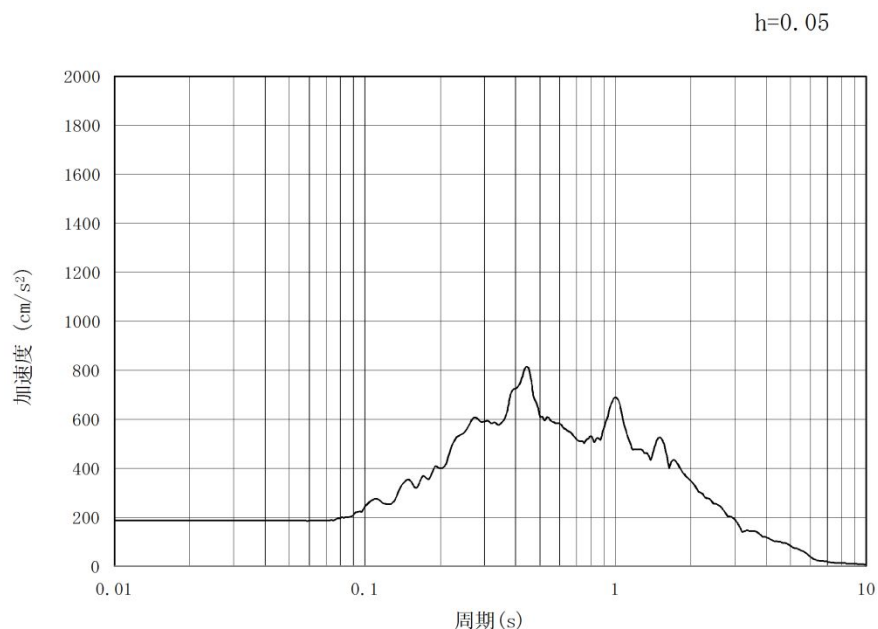
検討方針は、「5.12 スロッシングによる貯留堰貯水量に対する影響評価」と同様である。

3. 入力地震動

入力地震動についての考え方については、「5.12 スロッシングによる貯留堰貯水量に対する影響評価」と同様である。スロッシング解析モデル下端（計画海底面 T.P. -6.89 m）における S_d-D1 の加速度時刻歴及び加速度応答スペクトル（水平方向及び鉛直方向）を、地盤物性毎に図3-1に示す。



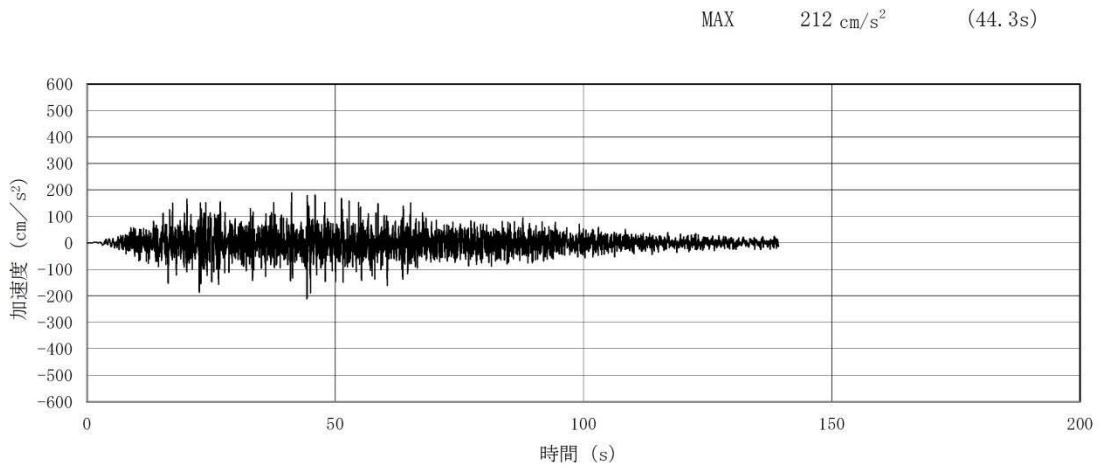
(a) 加速度時刻歴波形



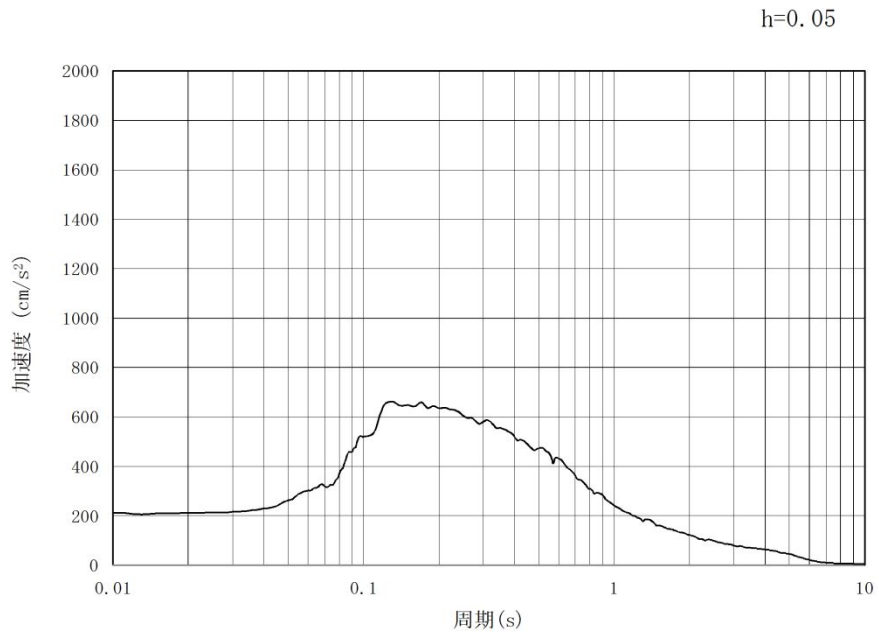
(b) 加速度応答スペクトル

図3-1 (1) 入力地震動の加速度時刻歴波形及び加速度応答スペクトル（水平方向）
（ S_d-D1 ，①Vs 平均値（液状化パラメータ適用））

（参考） 5.12-11

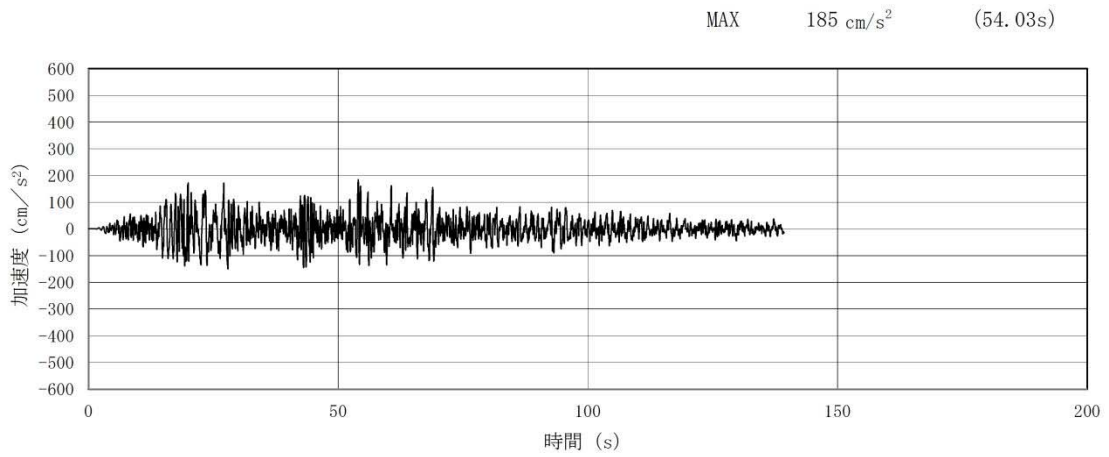


(a) 加速度時刻歴波形

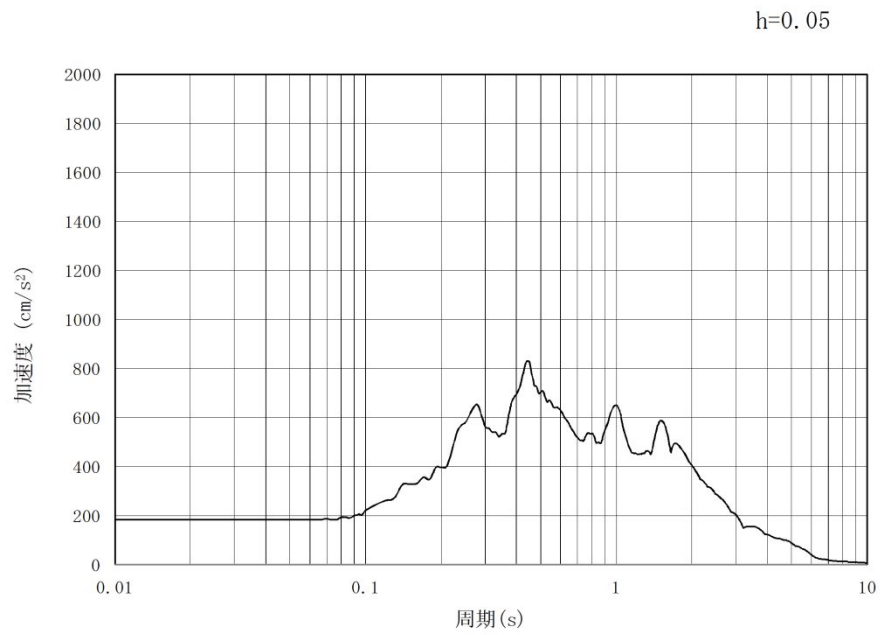


(b) 加速度応答スペクトル

図 3-1 (2) 入力地震動の加速度時刻歴波形及び加速度応答スペクトル (鉛直方向)
(S_d-D1 , ①Vs 平均値 (液状化パラメータ適用))

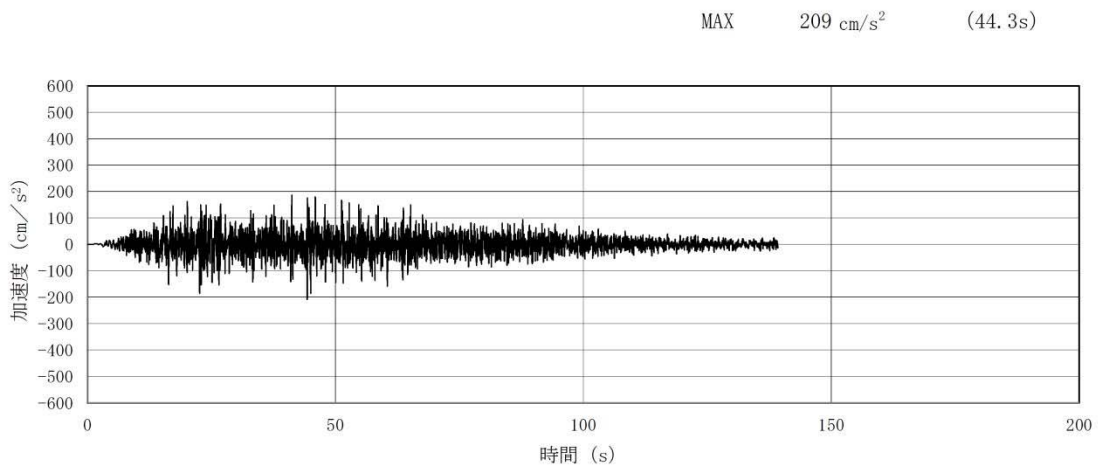


(a) 加速度時刻歴波形

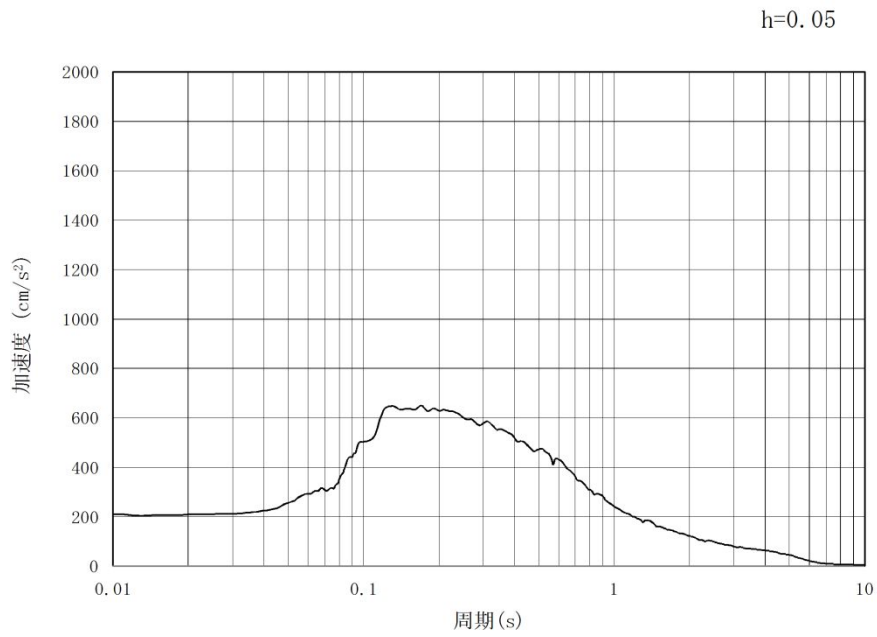


(b) 加速度応答スペクトル

図 3-1 (3) 入力地震動の加速度時刻歴波形及び加速度応答スペクトル (水平方向)
(S_d-D1, ③V_s-1σ (液状化パラメータ適用))

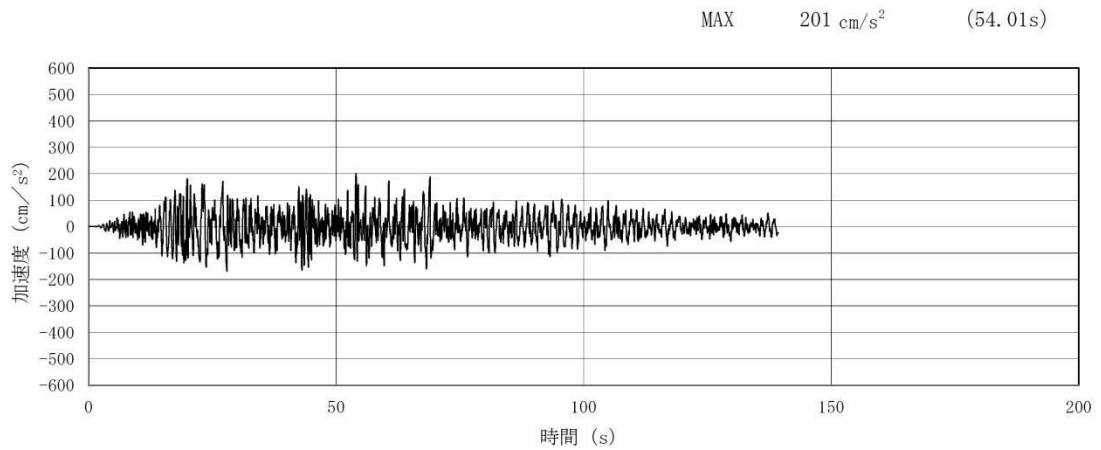


(a) 加速度時刻歴波形

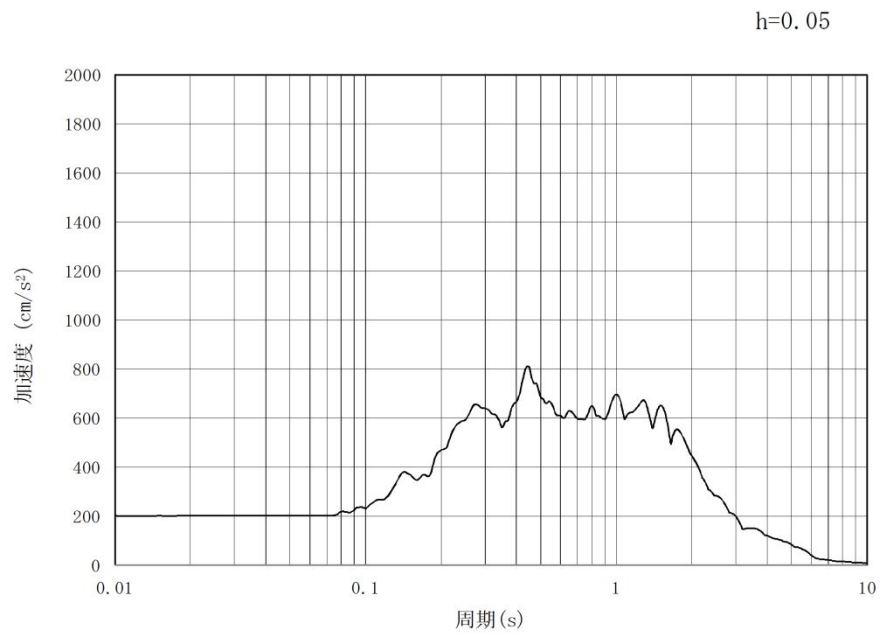


(b) 加速度応答スペクトル

図 3-1 (4) 入力地震動の加速度時刻歴波形及び加速度応答スペクトル (鉛直方向)
(S_d-D 1, ③V s⁻¹σ (液状化パラメータ適用))

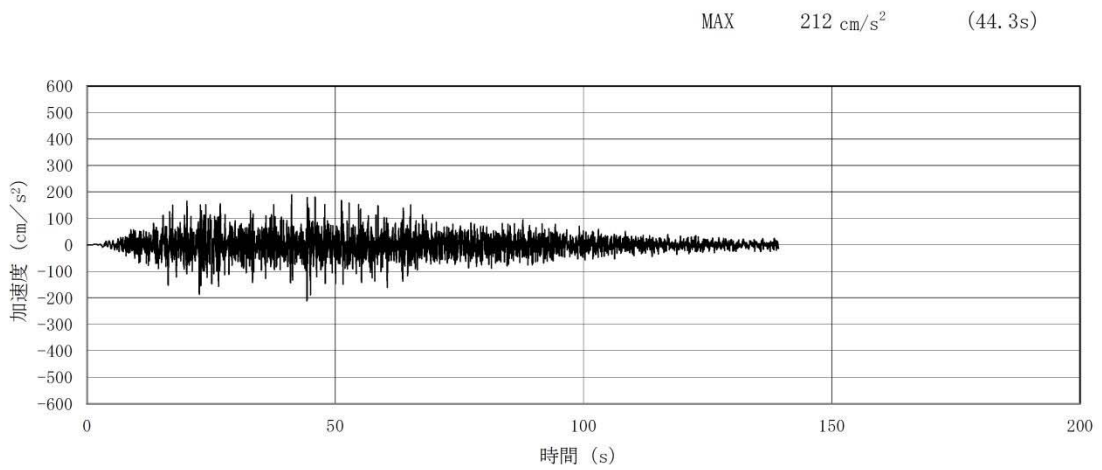


(a) 加速度時刻歴波形

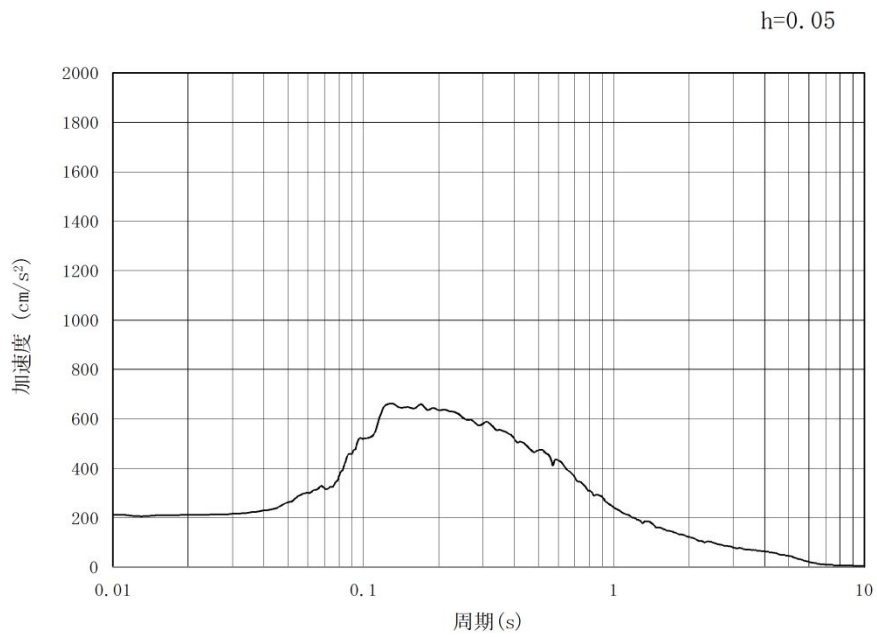


(b) 加速度応答スペクトル

図 3-1 (5) 入力地震動の加速度時刻歴波形及び加速度応答スペクトル (水平方向)
(S_d-D 1, ⑤V s 平均値 (非液状化))

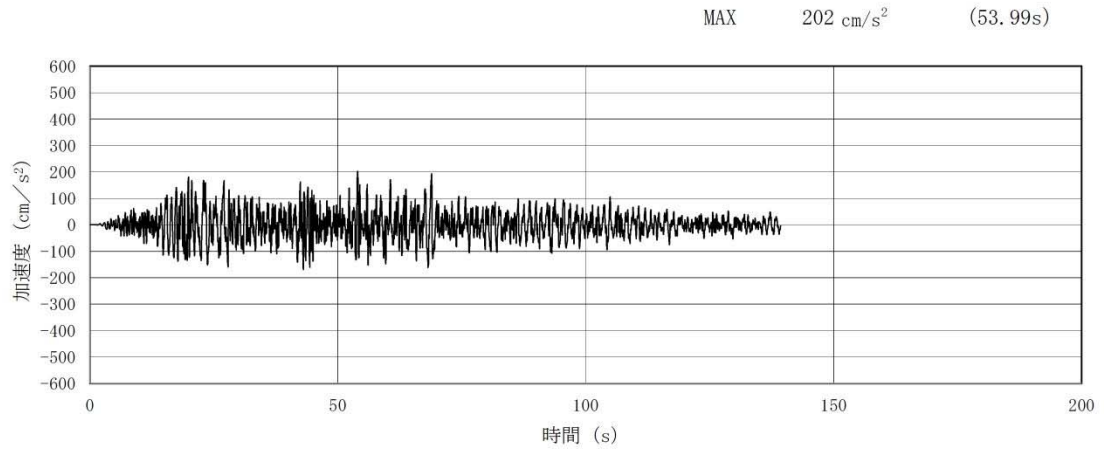


(a) 加速度時刻歴波形

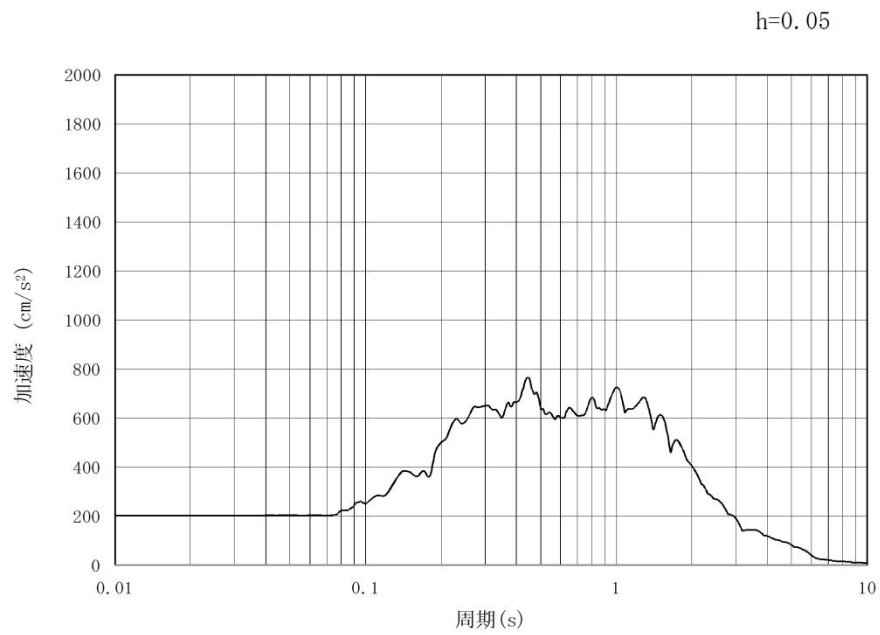


(b) 加速度応答スペクトル

図 3-1 (6) 入力地震動の加速度時刻歴波形及び加速度応答スペクトル (鉛直方向)
(S_d-D 1, ⑤V s 平均値 (非液状化))

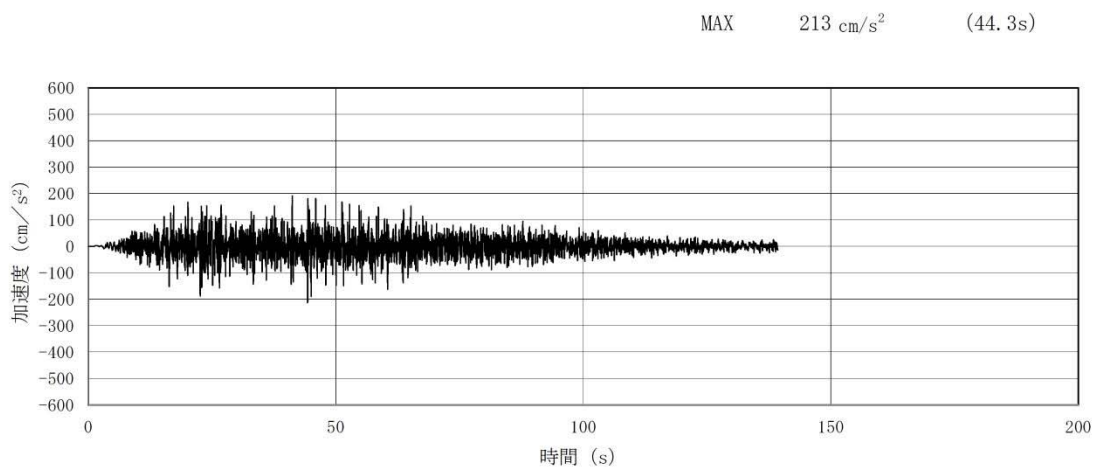


(a) 加速度時刻歴波形

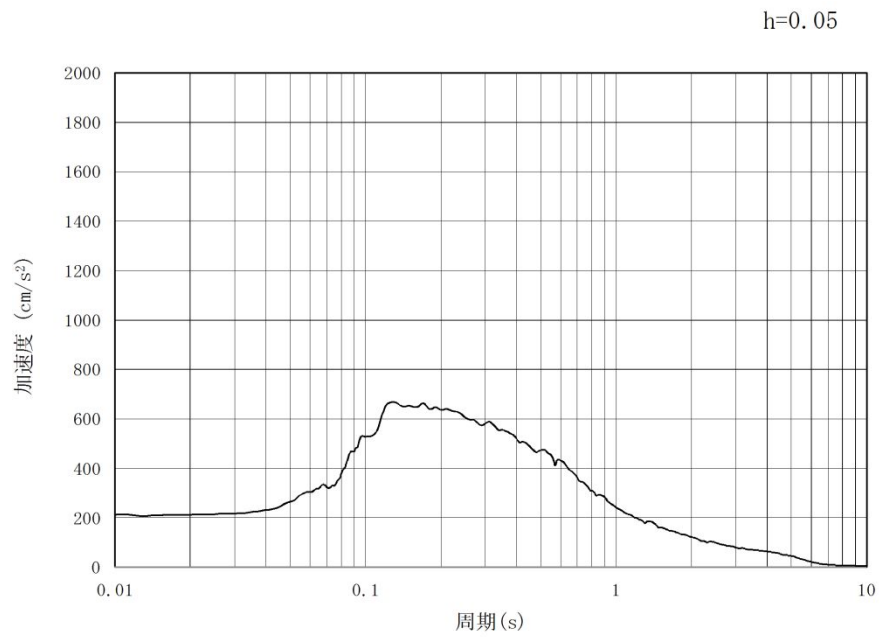


(b) 加速度応答スペクトル

図 3-1 (7) 入力地震動の加速度時刻歴波形及び加速度応答スペクトル (水平方向)
(S_d-D1, ⑥Vs+1σ (非液化化))



(a) 加速度時刻歴波形



(b) 加速度応答スペクトル

図 3-1 (8) 入力地震動の加速度時刻歴波形及び加速度応答スペクトル (鉛直方向)
 (S_d-D1 , ⑥Vs+1 σ (非液化化))

4. 検討ケースの選定

初期水位の検討ケースの選定は、「5.12 スロッシングによる貯留堰貯水量に対する影響評価」と同様である。

5. 解析条件

解析条件は、「5.12 スロッシングによる貯留堰貯水量に対する影響評価」と同様である。

6. 解析結果

6.1 検討項目 1 (貯留量が確保されることを確認, 初期水位=T.P. -4.9 m)

スロッシングによる 5 分間の溢水量を表 6-1 に示す。また, 貯留堰位置 (⑤~⑦) におけるスロッシング時の水位時刻歴グラフを図 6-1 に示す。

スロッシングによる 5 分間の溢水量は最大で 301 m³ となり, 十分な貯留量を確保できることを確認した。

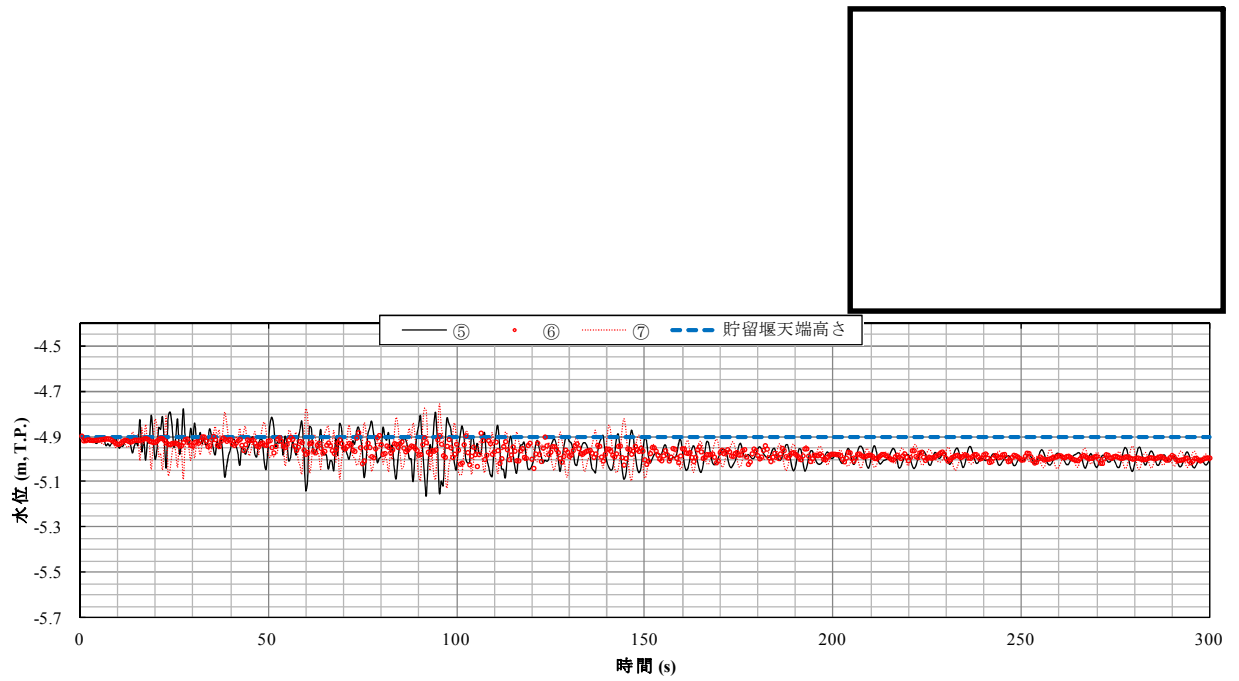
また, 貯留堰水面の 1 次固有周期帯における速度応答スペクトルの値が拮抗している検討ケースにおいては, 溢水量に有意な差が生じないことを以下に述べるとおり確認した。

水位変動の位相特性を確認するために, 溢水量が大きくなる (a) 護岸法線平行方向に加振した場合の貯留堰位置⑤及び⑦における, 4 種類の検討ケースの水位時刻歴 (水位変動の大きい 180 秒) の比較を行った結果, 図 6-2 に示すとおり, 4 種類の検討ケースにおける水位変動には有意な位相差が無いことを確認した。したがって, 溢水量は上昇する水位高さに比例する結果となっている。水位時刻歴 (図 6-2) の水位高さに着目すると, 水位上昇のピークが最大となるのは⑤V s 平均値 (非液状化) のケースであるが, いくつかの点においては③V s -1σ (液状化パラメータ適用) のケースにおいてもわずかながら大きめの水位が示されている。

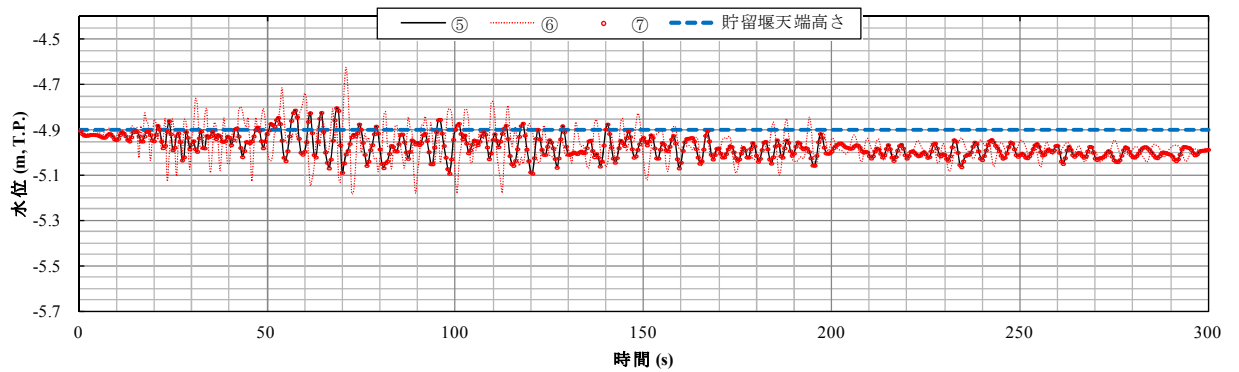
ゆえに, ⑤V s 平均値 (非液状化) のケース及び③V s -1σ (液状化パラメータ適用) のケースで同様の溢水量最大値を示す結果になったものと考えられる。

表 6-1 スロッシングによる 5 分間の溢水量

加振方向	溢水量			
	①V s 平均値 (液状化パラメータ適用)	③V s -1σ (液状化パラメータ適用)	⑤V s 平均値 (非液状化)	⑥V s +1σ (非液状化)
(a) 護岸法線平行方向に加振	299 m ³	301 m ³	301 m ³	300 m ³
(b) 護岸法線直角方向に加振	298 m ³	300 m ³	301 m ³	300 m ³

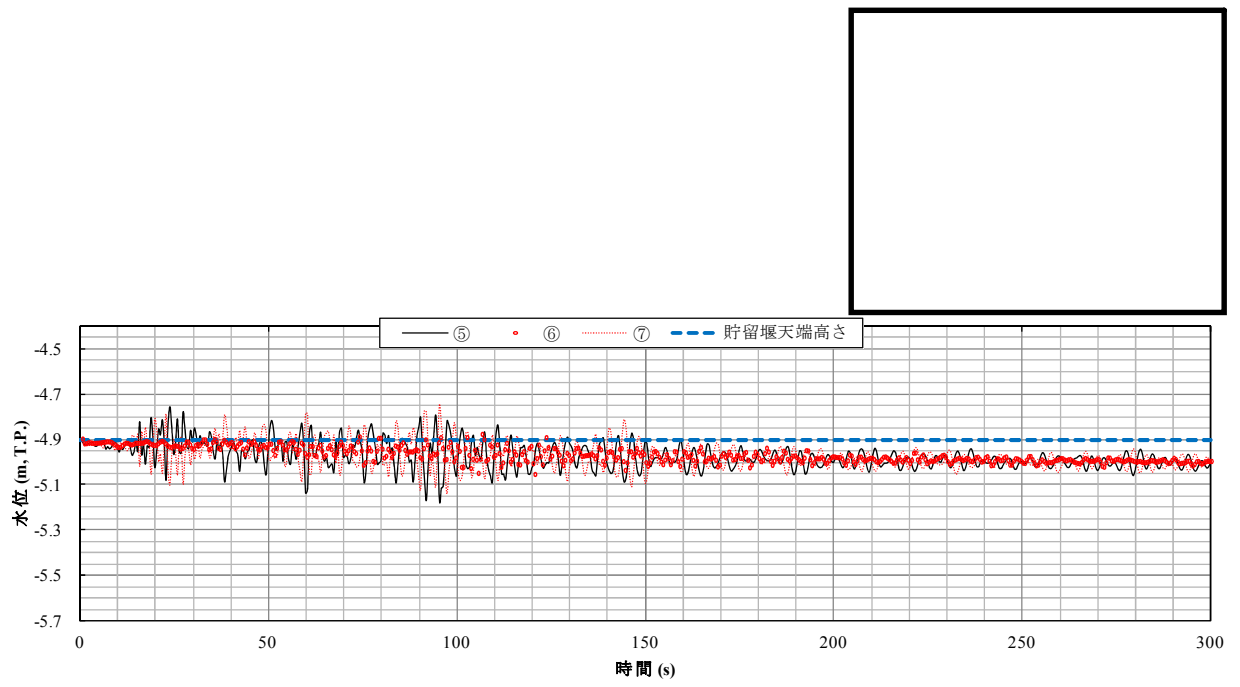


(a) 護岸法線平行方向に加振

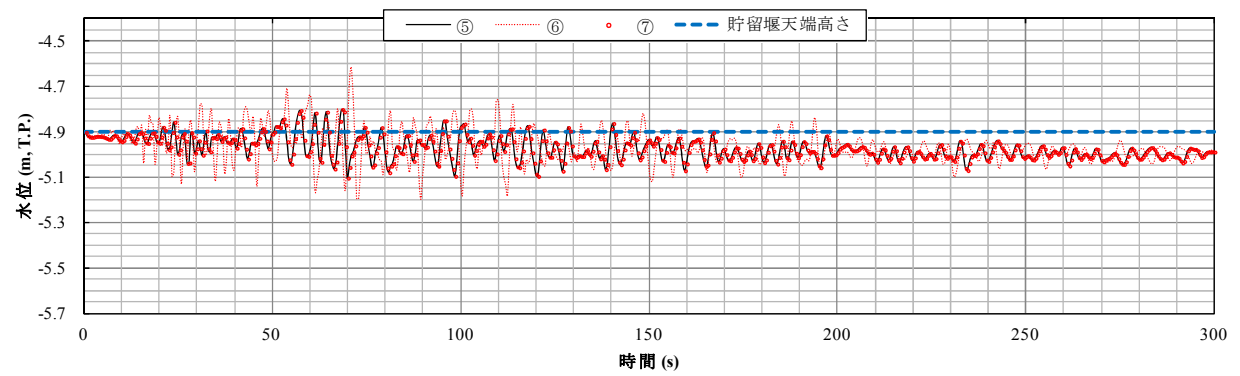


(b) 護岸法線直角方向に加振

図 6-1 (1) 貯留堰位置におけるスロッシング時の水位時刻歴グラフ
($S_d - D 1$, ① V_s 平均値 (液状化パラメータ適用))

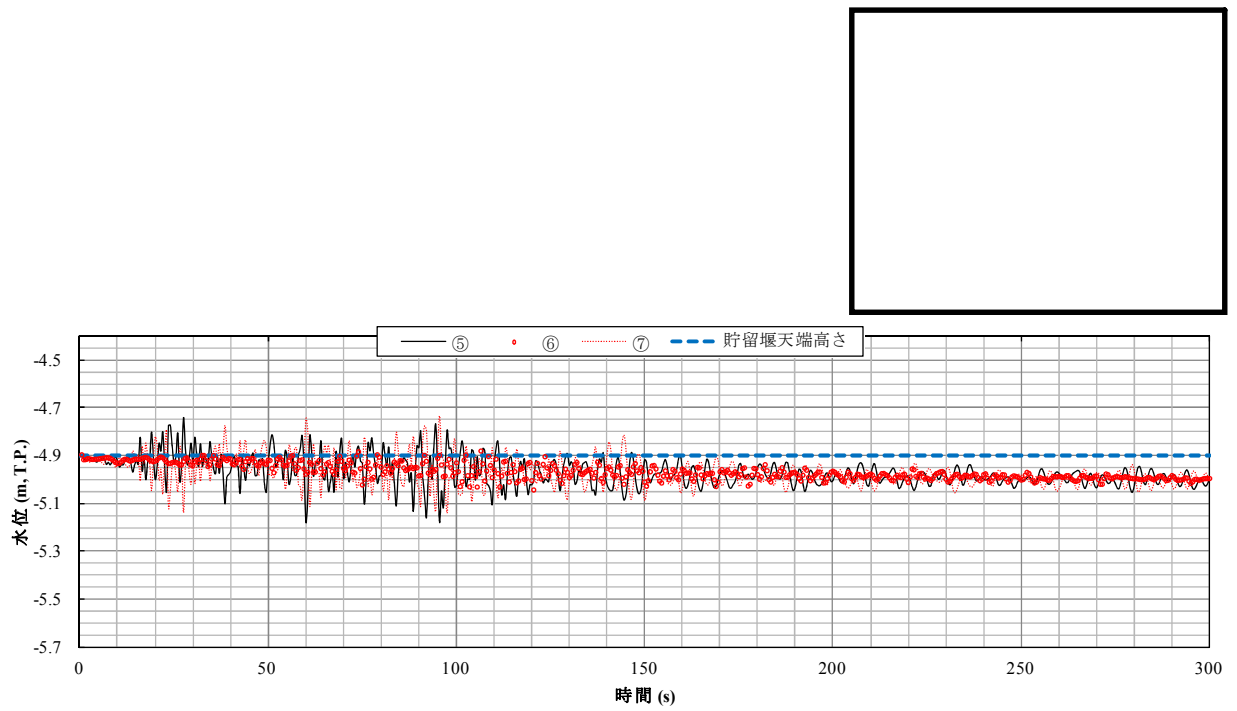


(a) 護岸法線平行方向に加振

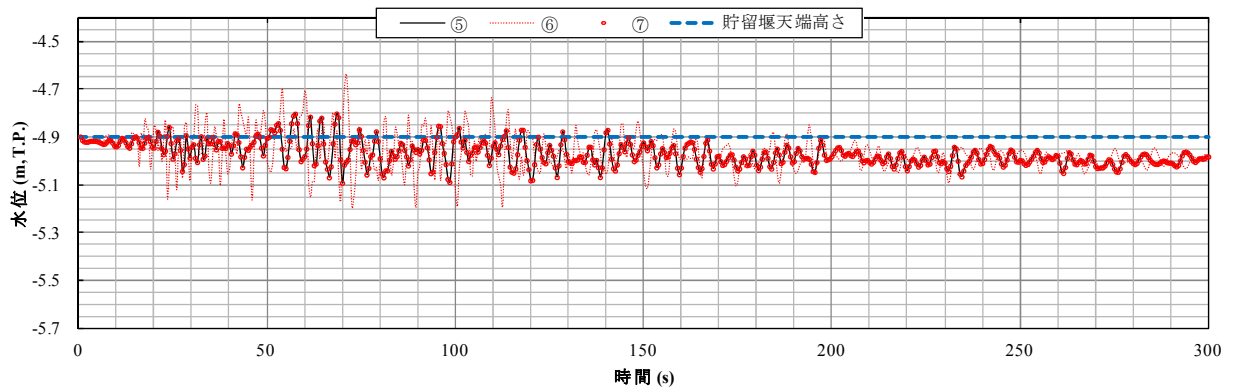


(b) 護岸法線直角方向に加振

図 6-1 (2) 貯留堰位置におけるスロッシング時の水位時刻歴グラフ
 ($S_d = D 1$, ③ $V s - 1 \sigma$ (液状化パラメータ適用))

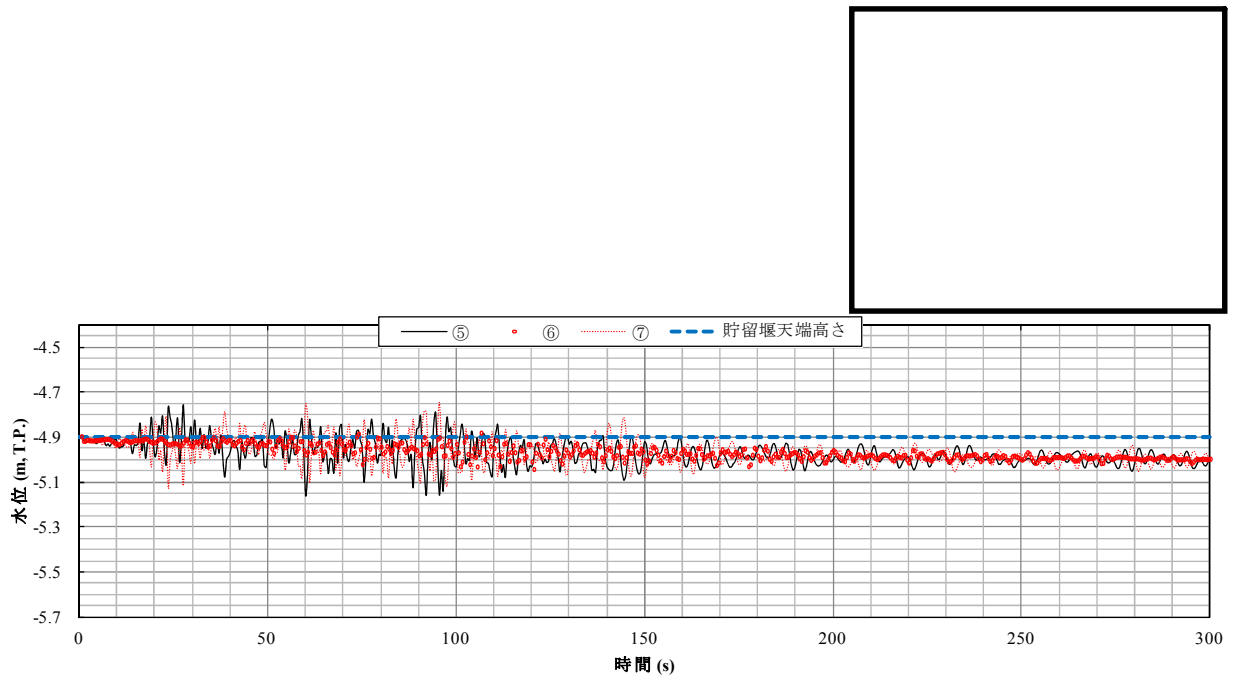


(a) 護岸法線平行方向に加振

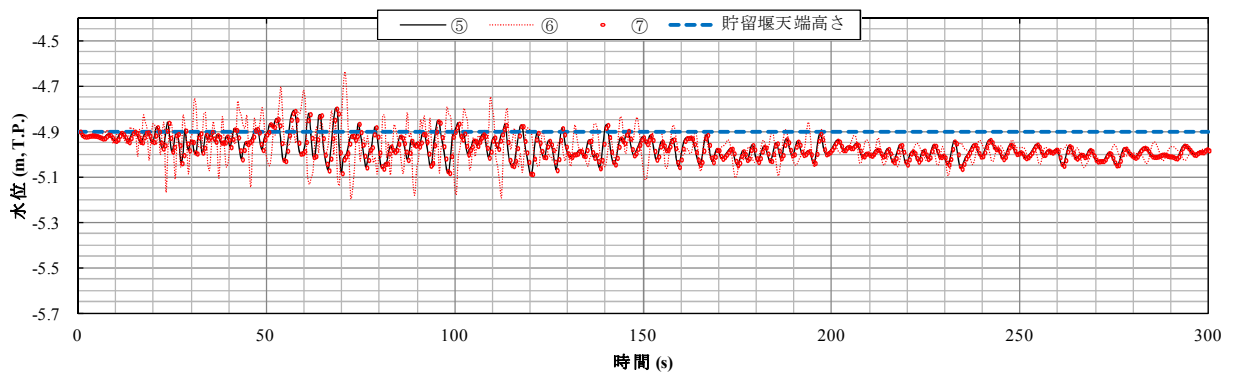


(b) 護岸法線直角方向に加振

図 6-1 (3) 貯留堰位置におけるスロッシング時の水位時刻歴グラフ
(S_d-D1 , ⑤Vs 平均値 (非液状化))

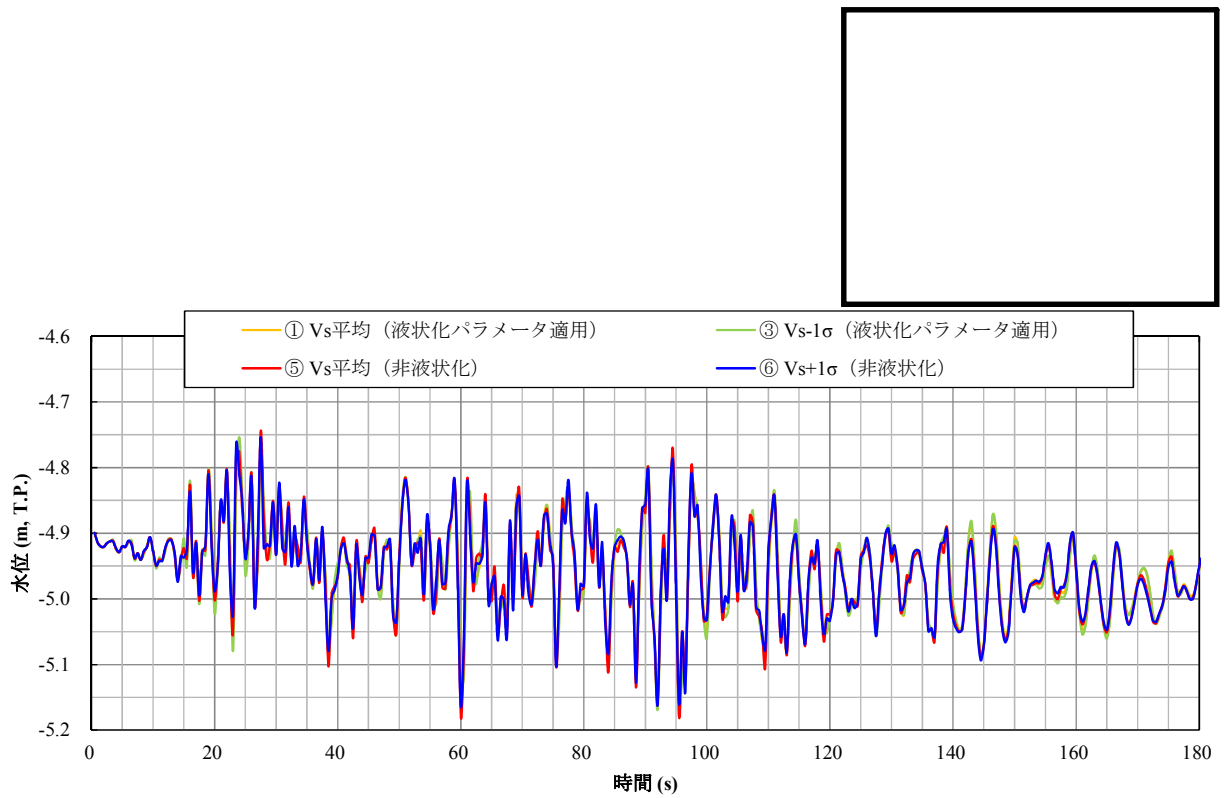


(a) 護岸法線平行方向に加振

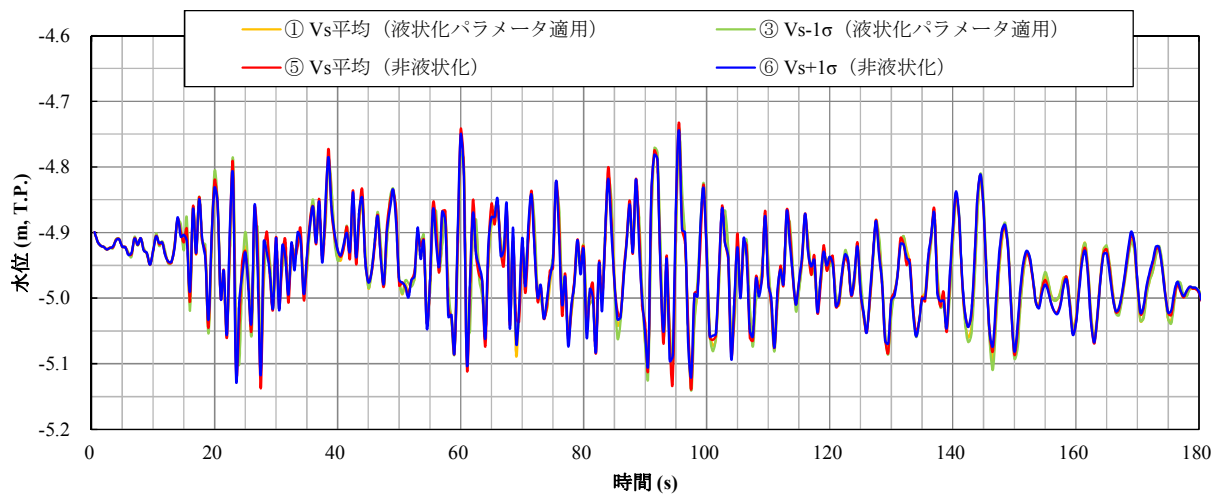


(b) 護岸法線直角方向に加振

図 6-1 (4) 貯留堰位置におけるスロッシング時の水位時刻歴グラフ
($S_d - D 1$, ⑥ $V_s + 1\sigma$ (非液状化))



(a) 貯留堰位置⑤



(b) 貯留堰位置⑦

図 6-2 貯留堰位置⑤及び⑦におけるスロッシング時の水位時刻歴比較
(護岸法線平行方向に加振)

6.2 検討項目 2 (取水可能限界水位を下回らないことを確認, 初期水位=T.P. -5.1 m)

非常用海水ポンプ位置 (①~④) でのスロッシング時の最低水位を表 6-2 に示す。非常用海水ポンプ位置におけるスロッシング時の水位時刻歴を 図 6-3 に示す。

非常用海水ポンプ位置でのスロッシング時の最低水位は, 最低で T.P. -5.46 m となり, 水位が非常用海水ポンプの取水可能限界水位 (T.P. -5.7 m) を下回らないことを確認した。

また, 貯留堰水面の 1 次固有周期帯における速度応答スペクトルの値が拮抗している検討ケースにおいては, スロッシング時の最低水位に有意な差が生じないことを以下に述べるとおり確認した。

水位変動を比較するために, 最低水位を示した (a) 護岸法線平行方向に加振した場合の非常用海水ポンプ位置③における, 4 種類の検討ケースの水位時刻歴 (水位変動の大きい 180 秒) の比較を行った結果, 図 6-4 に示すとおり, 4 種類の検討ケースにおける水位変動には有意な位相差が無いのと共に, 水位変動のピーク値についても有意な差がないことを確認した。

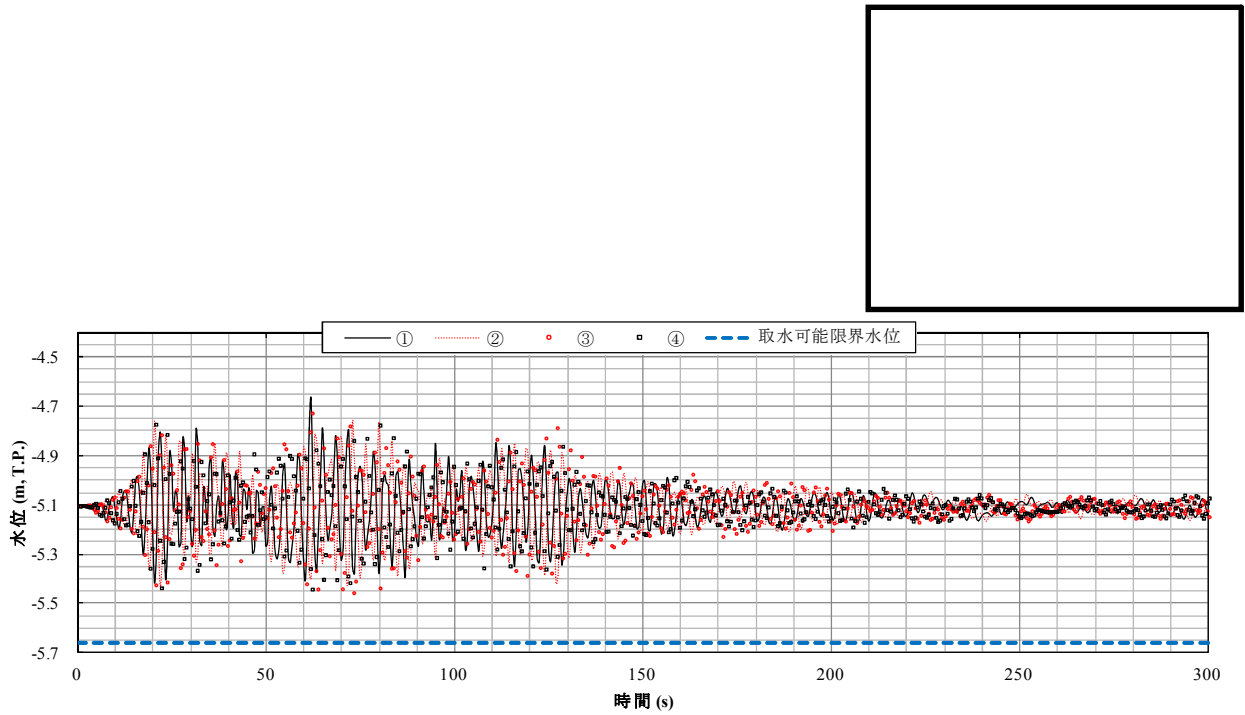
ゆえに, 4 種類の検討ケースによるスロッシング時の最低水位は, 同様の値を示す結果になったものと考えられる。

表 6-2 スロッシング時の最低水位

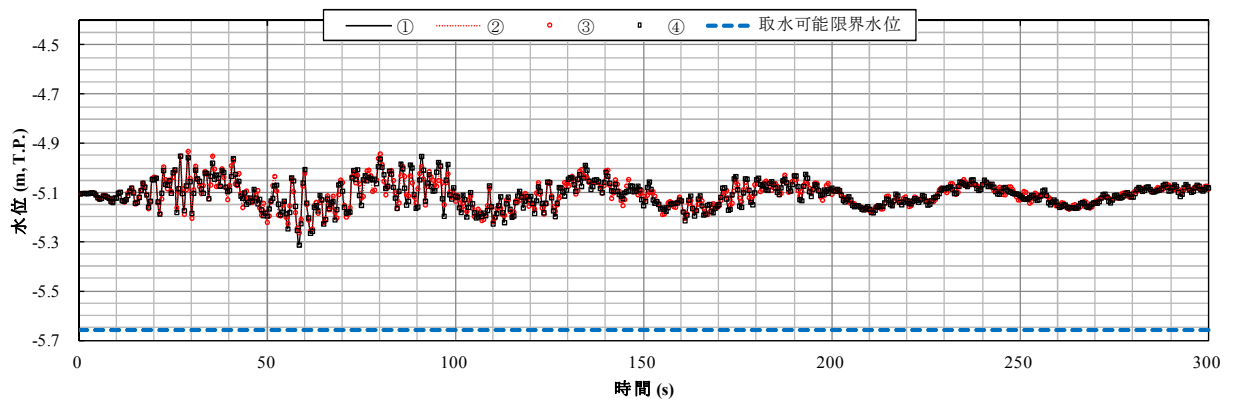
検討ケース	加振方向	①における 最低水位	②における 最低水位	③における 最低水位	④における 最低水位
① V_s 平均値 (液状化パラメータ適用)	護岸法線 平行方向	-5.42	-5.44	-5.46	-5.44
	護岸法線 直角方向	-5.32	-5.27	-5.27	-5.32
③ $V_s - 1\sigma$ (液状化パラメータ適用)	護岸法線 平行方向	-5.43	-5.44	-5.46	-5.46
	護岸法線 直角方向	-5.32	-5.27	-5.27	-5.32
⑤ V_s 平均値 (非液状化)	護岸法線 平行方向	-5.42	-5.45	-5.47	-5.44
	護岸法線 直角方向	-5.32	-5.27	-5.27	-5.32
⑥ $V_s + 1\sigma$ (非液状化)	護岸法線 平行方向	-5.42	-5.43	-5.47	-5.44
	護岸法線 直角方向	-5.33	-5.28	-5.28	-5.33

(単位 : T.P. m)



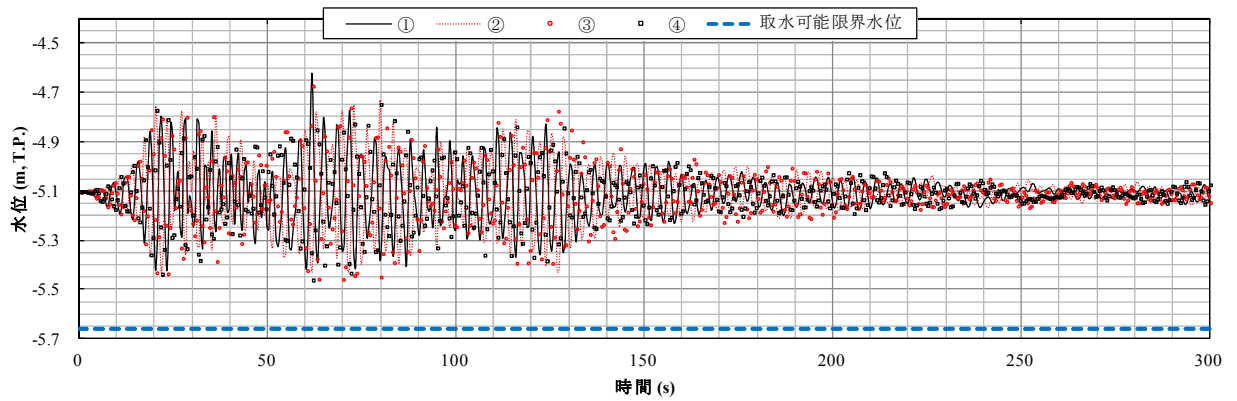


(a) 護岸法線平行方向に加振

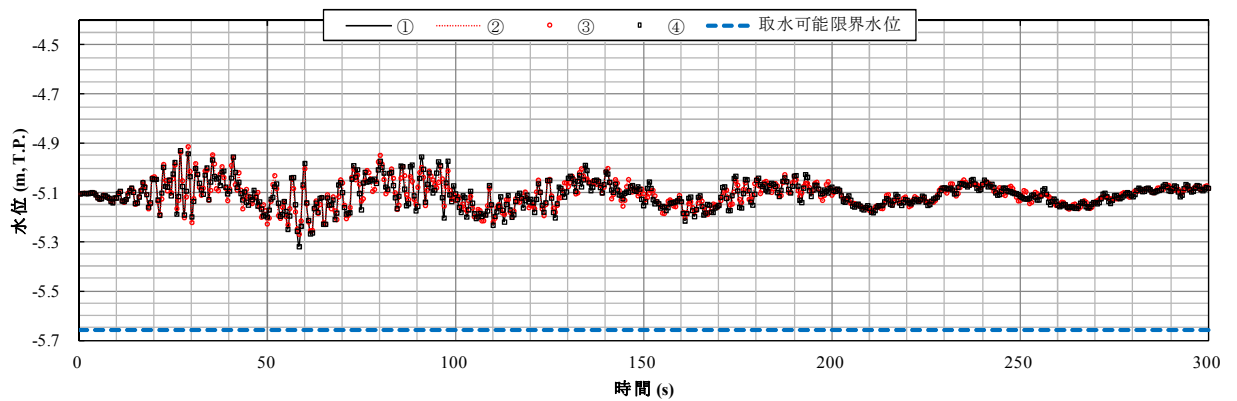


(b) 護岸法線直角方向に加振

図 6-3 (1) 非常用海水ポンプ位置におけるスロッシング時の水位時刻歴
($S_d - D1$, ①Vs 平均値 (液状化パラメータ適用))

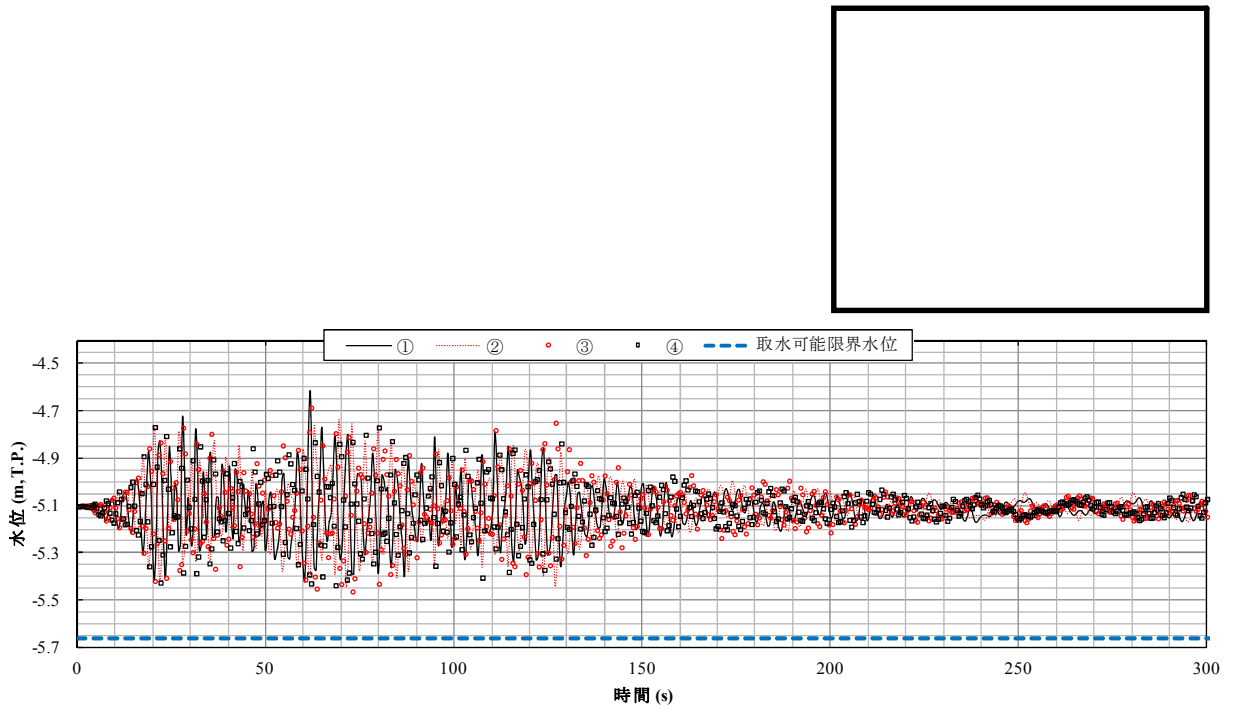


(a) 護岸法線平行方向に加振

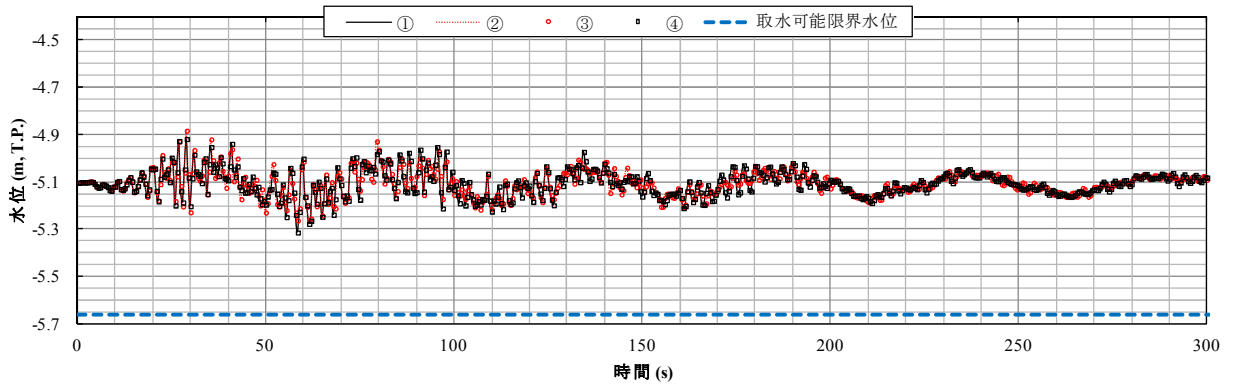


(b) 護岸法線直角方向に加振

図 6-3 (2) 非常用海水ポンプ位置におけるスロッシング時の水位時刻歴
($S_d - D1$, ③ $V_s - 1\sigma$ (液状化パラメータ適用))

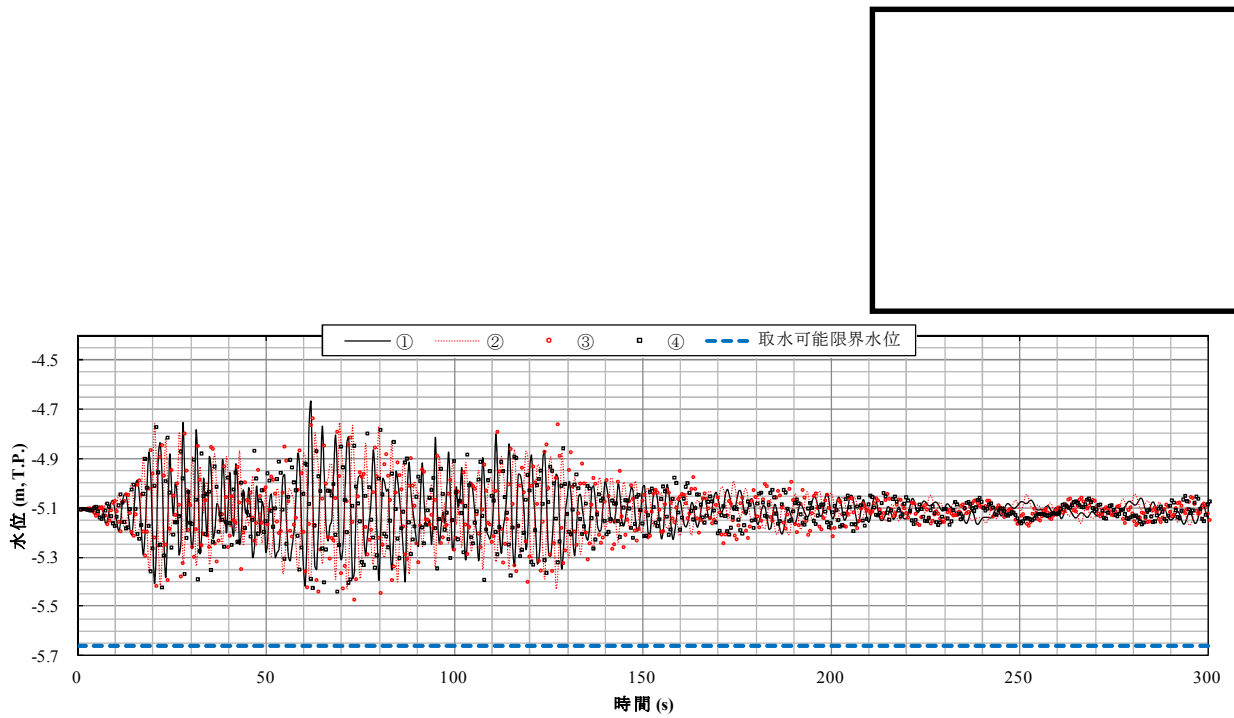


(a) 護岸法線平行方向に加振

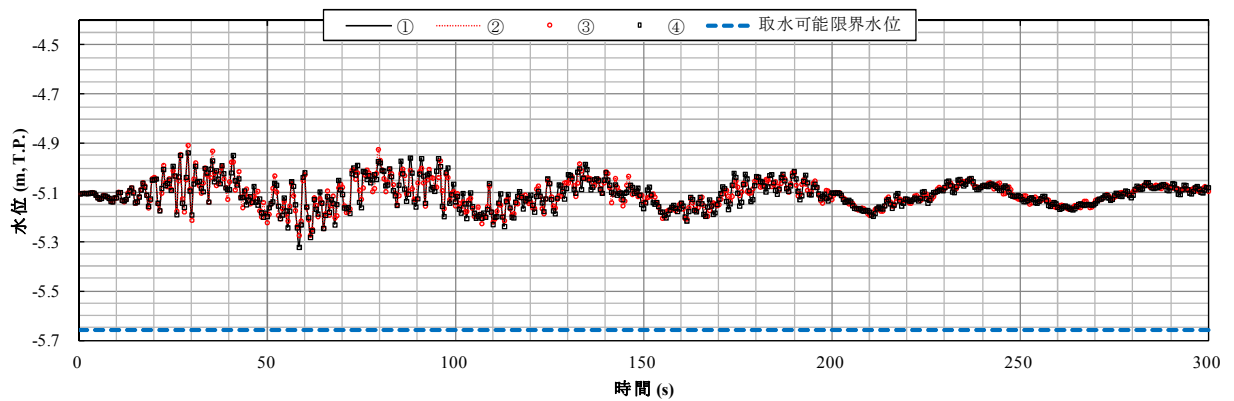


(b) 護岸法線直角方向に加振

図 6-3 (3) 非常用海水ポンプ位置におけるスロッシング時の水位時刻歴
(S_d-D1 , ⑤ V_s 平均値 (非液状化))



(a) 護岸法線平行方向に加振



(b) 護岸法線直角方向に加振

図 6-3 (4) 非常用海水ポンプ位置におけるスロッシング時の水位時刻歴
($S_d - D1$, ⑥ $V_s + 1\sigma$ (非液状化))

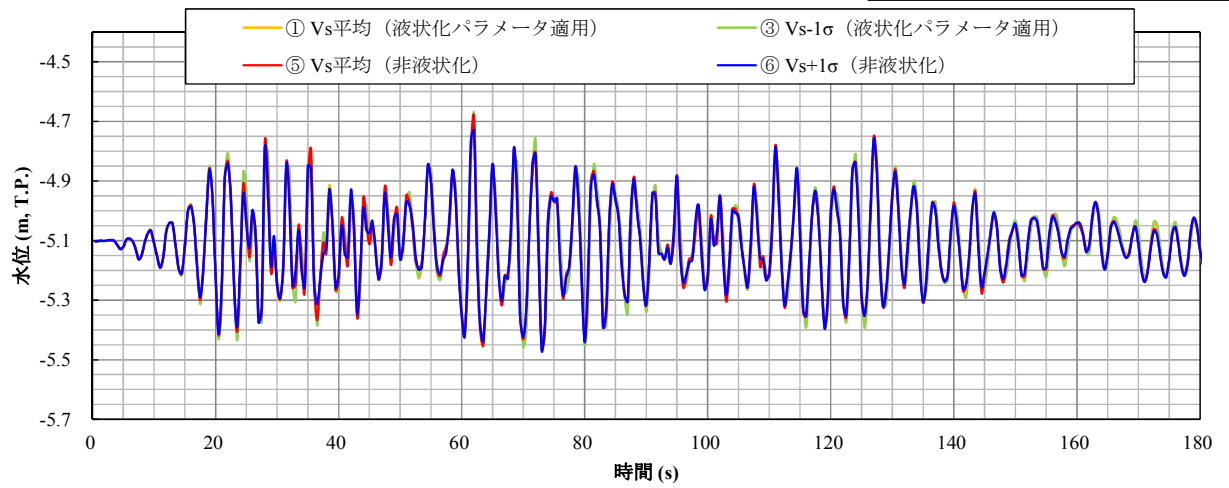


図 6-4 非常用海水ポンプ位置③におけるスロッシング時の水位時刻歴比較
(護岸法線平行方向に加振)

貯留堰の耐震性についての計算書に関する参考資料

(参考) 鋼管矢板継手部の健全性について

1. 検討概要

貯留堰を構成する鋼管矢板については、鋼管杭本体の健全性のみならず、継手部の健全性も確保する必要がある。

本検討では、基準地震動 S_s による地震力、津波波力、衝突荷重及び土圧が作用した場合においても、継手部の健全性が確保されることを確認する。継手部の健全性は、せん断応力、軸方向応力及び曲げ応力が許容限界以下であることを確認する。

2. せん断応力及び軸方向応力について

2.1 検討方法

継手部に作用するせん断応力及び軸方向応力を保守的に評価するために、両端の鋼管が完全に固定された状態で中央の1本の鋼管のみに荷重が作用し、その全ての荷重を継手部で負担した場合を仮定し、継手鋼材及び溶接部に対してせん断応力度照査及び軸方向応力度照査を実施する。検討イメージを図1に示す。

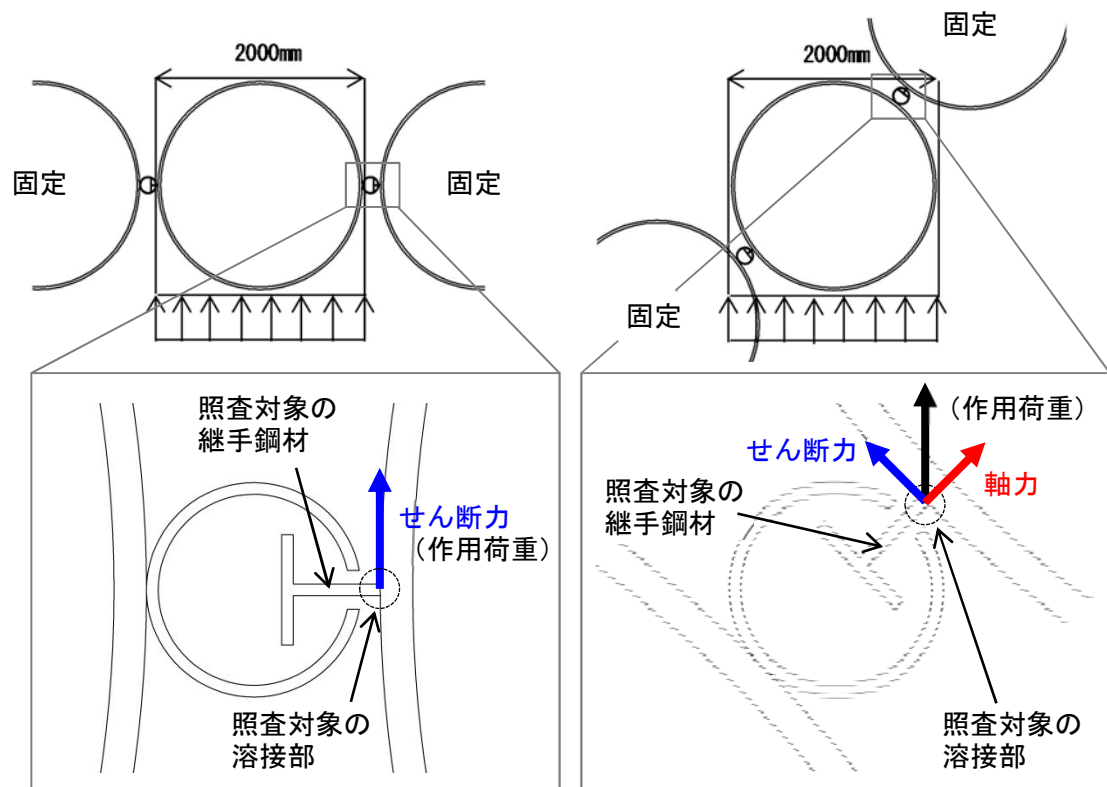


図1 検討イメージ (左：直線部，右：隅角部)

2.2 検討ケース

水中部については、①本震時に作用する地震力（慣性力及び動水圧）、②津波時に作用する津波波力及び漂流物荷重、③重畳時に作用する津波波力及び地震力（慣性力及び動水圧）を作用荷重として考慮する。

土中部については、地震による地盤の変形によって鋼管矢板に作用する主動土圧と、鋼管矢板が変形することによって作用する受働土圧のうち、大きい値であることを確認した受働土圧を作用荷重として考慮する。

検討ケース及び荷重作用図を表1に示す。表1に示す分布荷重（kN/m）は、鋼管1本（幅2m）あたりに作用する分布荷重である。この分布荷重のうち、最も発生せん断力及び発生軸力が大きくなる位置での荷重の合計値を用いて照査を実施する。

表1 検討ケース及び作用荷重

水中部	① 本震時	<p>貯留堰外側 貯留堰内側</p> <p>慣性力 動水圧① 動水圧②</p> <p>H.W.L. T.P. +0.61m</p> <p>設計海底面 T.P. -7.39 m</p> <p>23.1kN/m 38.2kN/m 38.2kN/m</p> <p>鋼管</p>	<p>荷重の合計値</p> <p>99.5 kN/m</p>
	② 津波時	<p>貯留堰外側 貯留堰内側</p> <p>津波高さ T.P. +3.90 m</p> <p>漂流物荷重 津波波力</p> <p>759kN/m 177.8kN/m</p> <p>貯水堰天端高 T.P. -4.90 m</p> <p>設計海底面 T.P. -7.39 m</p> <p>鋼管</p>	<p>荷重の合計値</p> <p>936.8 kN/m</p> <p>(採用)</p>
	③ 重畳時	<p>貯留堰外側 貯留堰内側</p> <p>津波高さ T.P. +3.90 m</p> <p>動水圧① 津波波力 動水圧②</p> <p>慣性力</p> <p>23.1kN/m 53.8kN/m 177.8kN/m 11.8kN/m</p> <p>貯水堰天端高 T.P. -4.90 m</p> <p>設計海底面 T.P. -7.39 m</p> <p>鋼管</p>	<p>荷重の合計値</p> <p>266.5 kN/m</p>
土中部	④ 土中部 (共通)	<p>貯留堰外側 貯留堰内側</p> <p>津波高さ T.P. +3.90 m</p> <p>貯水堰天端高 T.P. -4.90 m</p> <p>設計海底面 T.P. -7.39 m</p> <p>鋼管</p> <p>継手下端高さ T.P. -9.89m</p> <p>受働土圧強度 408.0kN/m</p>	<p>荷重の合計値</p> <p>408.0 kN/m</p>

2.3 せん断力及び軸力の算定

継手に生じるせん断力及び軸力の算定方法を以下に示す。なお、鋼管矢板が受ける荷重は 2 か所の継手で分担するものとする。

(1) せん断力の算定方法

$$S = P_1 / 2$$

$$P_1 = P \times \cos \theta$$

ここに、

S : せん断力 (kN/m)

P_1 : 継手軸直角方向の荷重成分 (kN/m)

P : 荷重の合計値 (kN/m)

θ : 継手の取付角度 (°)

(2) 軸力 (軸方向圧縮力及び軸方向引張力) の算定方法

$$N = P_2 / 2$$

$$P_2 = P \times \sin \theta$$

ここに、

N : 軸力 (軸方向圧縮力及び軸方向引張力) (kN/m)

P_2 : 継手軸方向の荷重成分 (kN/m)

P : 荷重の合計値 (kN/m)

θ : 継手の取付角度 (°)

(3) せん断力及び軸力の算定結果

荷重の合計値が最大となる「②水中部・津波時」の荷重に対して、各継手に生じるせん断力及び軸力を算定した。せん断力及び軸力の算定結果を表 2 に示す。隅角部の算定に用いた継手の取付角度を図 2 に示す。

表 2 せん断力及び軸力の算定結果

項目		作用荷重 P kN/m	取付角度 θ °	継手軸直角方向 の荷重成分 P ₁ kN/m	継手軸方向の 荷重成分 P ₂ kN/m	せん断力 S kN/m	軸力 N kN/m
直線部	継手①	936.8	0.0	936.8	0.0	468.4	0.0
隅角部	継手②	936.8	7.5	928.8	122.3	464.4	61.2
	継手③	936.8	22.5	865.5	358.5	432.8	179.3
	継手④	936.8	37.5	743.2	570.3	371.6	285.2
	継手⑤	936.8	52.5	570.3	743.2	285.2	371.6
	継手⑥	936.8	67.5	358.5	865.5	179.3	432.8
	継手⑦	936.8	82.5	122.3	928.8	61.2	464.4
	継手⑧	936.8	90.0	0.0	936.8	0.0	468.4

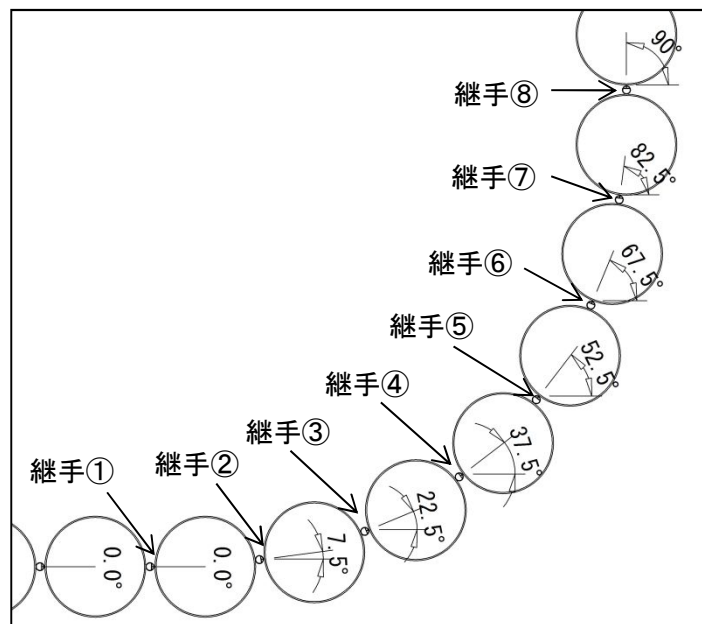


図 2 継手の取付角度 (隅角部)

2.4 継手部の断面諸元

(1) 断面性能

継手部の仕様を図 3 に示す。また、継手鋼材及び溶接部の断面積（単位高さあたり）は以下のとおり。なお、腐食については「港湾の施設の技術上の基準・同解説」に基づき、片面 1 mm の腐食代を考慮する。

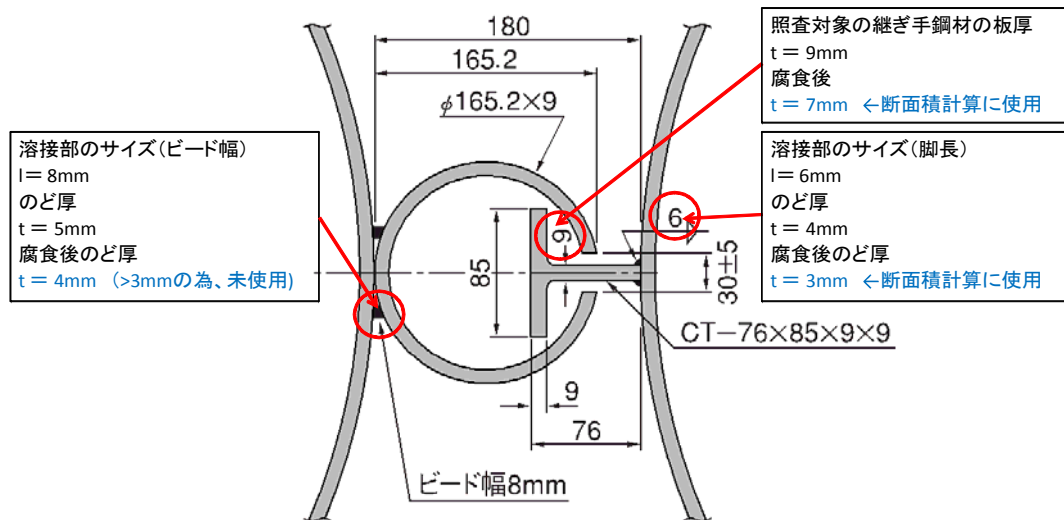


図 3 継手部の仕様

- 継手鋼材の断面積 A （単位高さあたり）

$$A = \text{継ぎ手部材の板厚} \times 1.0 = 0.007 \text{ m}^2/\text{m}$$

- 溶接部の断面積 A_y （単位高さあたり）

$$A_y = 0.006 \times 1.0 = 0.006 \text{ m}^2/\text{m}$$

(2) 許容応力度

継手鋼材（SS400 材）の許容応力度を以下に示す。

短期許容せん断応力度 $\tau_a = 120 \text{ N/mm}^2$

短期許容せん断応力度（溶接部） $\tau_{ya} = 120 \text{ N/mm}^2$

短期許容軸方向圧縮応力度 $\sigma_{ca} = 210 \text{ N/mm}^2$

短期許容軸方向引張応力度 $\sigma_{ta} = 210 \text{ N/mm}^2$

2.5 せん断応力度照査

せん断応力度が許容せん断応力度以下となることを確認する。なお、せん断応力度の照査は、せん断力が最大となる「② 水中部・津波時」の「継手①」のケースに対して実施する。

(1) 継手鋼材

$$\tau = S/A = 468.4 \text{ kN/m} / 0.007 \text{ m}^2/\text{m} = 66.9 \text{ N/mm}^2$$

$$\tau = 66.9 \text{ N/mm}^2 \leq \tau_a = 120 \text{ N/mm}^2 \quad \dots \text{O.K.}$$

(2) 溶接部

$$\tau_y = S/A = 468.4 \text{ kN/m} / 0.006 \text{ m}^2/\text{m} = 78.1 \text{ N/mm}^2$$

$$\tau_y = 78.1 \text{ N/mm}^2 \leq \tau_{a_y} = 120 \text{ N/mm}^2 \quad \dots \text{O.K.}$$

2.6 軸方向応力度照査

軸方向圧縮力については継手鋼材に作用する軸方向圧縮応力度が短期許容軸方向圧縮応力度以下となることを確認する。軸方向引張力については溶接部のせん断で受け持つため、溶接部に作用するせん断応力度が許容せん断応力度以下となることを確認する。なお、軸方向応力度の照査は、軸力が最大となる「② 水中部・津波時」の「継手③」のケースに対して実施する。

(1) 継手鋼材（軸方向圧縮力）

$$\sigma = N/A = 468.4 \text{ kN/m} / 0.007 \text{ m}^2/\text{m} = 66.9 \text{ N/mm}^2$$

$$\sigma = 66.9 \text{ N/mm}^2 \leq \sigma_{a_c} = 210 \text{ N/mm}^2 \quad \dots \text{O.K.}$$

(2) 溶接部（軸方向引張力）

$$\tau_y = S/A = 468.4 \text{ kN/m} / 0.006 \text{ m}^2/\text{m} = 78.1 \text{ N/mm}^2$$

$$\tau_y = 78.1 \text{ N/mm}^2 \leq \tau_{a_y} = 120 \text{ N/mm}^2 \quad \dots \text{O.K.}$$

3. 曲げ応力について

曲げ応力については、継手軸方向の曲げに対して照査する。曲げによって鋼管外縁が短期許容応力度に達した場合を仮定しても、継手部に生じる曲げ応力度は短期許容応力度以下となる。図3に鋼管と継手部の応力分布を示す。

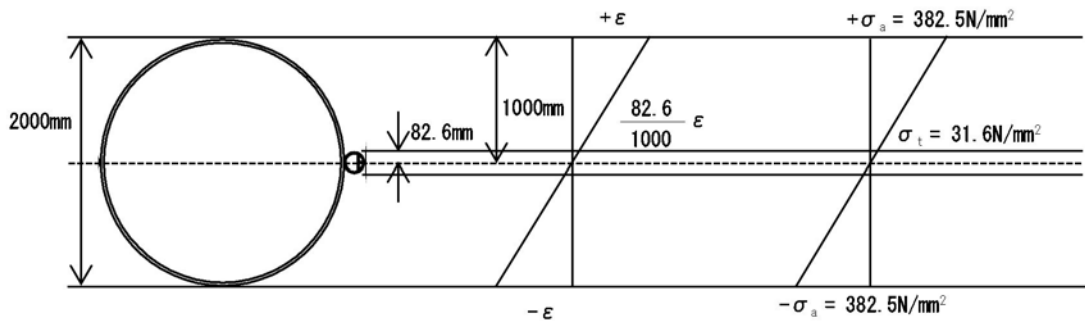


図3 鋼管及び継手鋼材の応力分布

鋼管外縁が短期許容応力度に達した場合の継手部の応力度を算出すると、以下のとおりとなる。

- ・ 鋼管外縁での応力度 (SM570 の短期許容応力度)

$$\sigma_a = 382.5 \text{ N/mm}^2$$

- ・ 継手部に生じる応力度

$$\sigma_t = 382.5 \times 82.6 / 1000 = 37.2 \text{ N/mm}^2 \leq 210 \text{ N/mm}^2 \text{ (SS400 の短期許容応力度)}$$

4. まとめ

せん断応力及び軸方向応力については、両端の鋼管が完全に固定された状態で中央の1本の鋼管のみに荷重が作用し、その全ての荷重を継手部で負担した場合を仮定し、保守的に継手部の評価を行った。その結果、継手部はせん断力及び軸力に対して健全であることを確認した。

また、曲げ応力については、継手軸方向の曲げによって鋼管外縁が短期許容応力度に達した場合を仮定しても、継手部に生じる曲げ応力度は短期許容応力度以下となることを確認した。

したがって、貯留堰を構成する鋼管矢板の継手部は、基準地震動 S_s による地震力、津波波力、衝突荷重及び土圧が作用した場合においても、健全性を維持し、貯留堰の止水性は確保される。